

O Posto de Curvas Elípticas sobre o Corpo dos Números Racionais

Rodrigo dos Santos Veloso Martins

Dissertação de Mestrado apresentada ao Programa de Pós-graduação do Instituto de Matemática, da Universidade Federal do Rio de Janeiro, como parte dos requisitos necessários à obtenção do título de Mestre em Matemática.

Orientadora: Luciane Quoos Conte

Rio de Janeiro

Julho de 2011

O Posto de Curvas Elípticas sobre o Corpo dos Racionais

Rodrigo dos Santos Veloso Martins

Dissertação submetida ao Corpo Docente do Instituto de Matemática Rio de Janeiro - UFRJ, como parte dos requisitos necessários à obtenção do grau de Mestre em Matemática.

Aprovada por:

Luciane Quoos Conte

PhD - IM - UFRJ - Orientador.

José Gilvan de Oliveira

PhD - DMAT - UFES

Nicolas Paul André Puignau

PhD - IM - UFRJ

Miriam del Milagro Abdón

PhD - IM - UFF

FICHA CATALOGRÁFICA

Martins, Rodrigo dos Santos Veloso.

O Posto de Curvas Elípticas sobre o Corpo dos Números Racionais

Rodrigo dos Santos Veloso Martins.

Rio de Janeiro: UFRJ, IM, 2011.

Dissertação - Universidade Federal do Rio de Janeiro, IM.

1. Curvas Planas.
2. Curvas Elípticas
3. Pontos de Torsão.
4. O Teorema de Mordell
5. Posto de Curvas Elípticas

(Mestrado-UFRJ/IM) Conte, Luciane Quoos

II. Universidade Federal do Rio de Janeiro III. Título.

Agradecimentos

A minha família, em especial a minha mãe e ao meu irmão. A minha orientadora, pela sua dedicação, pela sua paciência e por seus bons conselhos. Aos meus amigos da pós-graduação. Ao CNPq e à CAPES, pelo apoio financeiro.

Resumo

Descrevemos uma operação binária no conjunto $E(\mathbb{Q})$ dos pontos com coordenadas racionais de uma curva elíptica que o torna um grupo abeliano. Provamos o Teorema de Nagell-Lutz sobre os pontos de torção de $E(\mathbb{Q})$. Demonstramos o Teorema de Mordell, que afirma que este grupo é finitamente gerado. Por fim, apresentamos um procedimento para determinar o posto de $E(\mathbb{Q})$ e o aplicamos para determinar o posto numa classes específicas de curvas elípticas.

Palavras Chaves: curvas elípticas, grupo de pontos racionais, pontos de torsão, posto de curvas elípticas.

Abstract

We describe the binary application in the set $E(\mathbb{Q})$ of rational points of an elliptic curve E that makes it an abelian group. We prove the Nagell-Lutz Theorem on the torsion points of $E(\mathbb{Q})$ and the Mordell Theorem, which states that this group is finitely generated. We also present a procedure to determine the rank of $E(\mathbb{Q})$ and we apply it to a specific class of elliptic curves.

Key Words: elliptic curves, group of rational points, torsion points, rank of an elliptic curve.

Sumário

1	Introdução	2
2	Curvas Planas	5
2.1	Curvas Planas e o Plano Projetivo	5
2.2	A Resultante e Interseções entre Curvas	10
2.3	O Teorema de Bezout	14
3	Curvas elípticas	23
3.1	Definição	23
3.2	A Estrutura de Grupo	26
3.3	Fórmulas Explícitas para a Soma de Pontos	28
4	Pontos de Torção	31
4.1	Pontos de Ordem Dois e Três	31
4.2	O Teorema de Nagell-Lutz	33

	1
5 O Teorema de Mordell	43
5.1 A Altura de Pontos Racionais	45
5.2 O Teorema Fraco de Mordell	50
5.3 O Teorema de Mordell	54
6 O Posto de Curvas Elípticas	56
6.1 Curvas Elípticas do tipo $y^2 = x^3 - px$, p primo	65
6.2 Curvas Elípticas do tipo $y^2 = x^3 - 2px$, p primo	69

Capítulo 1

Introdução

A história das curvas elípticas remonta à Grécia antiga e arredores, mais especificamente à área de teoria de números que estuda as equações diofantinas, procurando determinar soluções nos números inteiros ou racionais para equações polinomiais. É natural buscar soluções para equações polinomiais em duas variáveis pelo seu aspecto geométrico, uma vez que estas determinam curvas no plano cartesiano.

Uma curva elíptica E sobre o corpo dos racionais \mathbb{Q} é uma curva não singular de gênero um com um ponto com coordenadas racionais, e seu modelo afim pode ser descrita por uma equação polinomial em duas variáveis da seguinte forma:

$$y^2 = x^3 + ax + b, \quad a, b \text{ em } \mathbb{Q} \text{ e o discriminante } \Delta = -4a^3 - 27b^2 \neq 0.$$

Em um clássico teorema de 1922, Louis Mordell provou que é possível construir todos os pontos (x, y) de uma curva elíptica E com coordenadas racionais a partir de um número finito de pontos apenas desenhando retas e tangentes; mais precisamente, que o conjunto dos pontos racionais forma um grupo finitamente gerado. Neste mesmo ano, Mordell ainda conjecturou que curvas de gênero maior que 1 possuem um número finito de pontos racionais. Esta conjectura foi generalizada substituindo o corpo \mathbb{Q} por um corpo de números e provada por

Gerd Faltings, no que atualmente é conhecido como o "Teorema de Faltings"; este teorema o consagrou como ganhador da Medalha Fields em 1986. Nos dias de hoje, temos ainda um importante problema em aberto envolvendo a teoria de curvas elípticas: a Conjectura de Birch e Swinnerton-Dyer, que se encontra na lista do Instituto Clay de Matemática como um dos sete Problemas do Milênio a serem resolvidos.

Seja $E(\mathbb{Q})$ o grupo abeliano dos pontos racionais de uma curva elíptica E . Pelo teorema de Mordell este grupo pode ser decomposto na seguinte soma direta:

$$E(\mathbb{Q}) = E(\mathbb{Q})_{tors} \oplus \mathbb{Z}^r,$$

onde $E(\mathbb{Q})_{tors}$ é o subgrupo de torsão e r é o posto da curva elíptica, o qual mede o tamanho de um conjunto de geradores. O teorema de Barry Mazur de 1977 nos fornece uma caracterização completa para as possibilidades para o subgrupo de torsão de uma curva elíptica sobre os racionais. Entretanto, ainda hoje não são conhecidos os possíveis valores para o posto r de uma curvas elíptica sobre os racionais. Embora acredite-se que o posto possa ser arbitrariamente grande, o maior valor conhecido é $r = 19$ e foi determinado por Elkies em 2009.

Nesta dissertação estudamos o conjunto de pontos racionais $E(\mathbb{Q})$ de uma curva elíptica E . O segundo capítulo contém um pouco da teoria básica sobre curvas planas, em especial o teorema de Bezout sobre o número de pontos na interseção de duas tais curvas planas. No capítulo 3 definimos uma operação de soma em $E(\mathbb{Q})$, de cunho geométrico, tornando-o um grupo abeliano. Esta operação é consideravelmente simples do ponto de vista computacional, o que gerou o desenvolvimento de sistemas criptográficos envolvendo tais grupos. Curvas elípticas deram ainda origem a um teste de primalidade bastante eficiente, o que está diretamente relacionado ao algoritmo RSA de criptografia. Mais informações sobre este teste de primalidade e a conexão entre curvas elípticas e criptografia podem ser encontradas no livro [3].

A seguir obtemos expressões algébricas para a soma de pontos de uma curva elíptica

$E(\mathbb{Q})$, que são ostensivamente utilizadas no desenvolvimento da teoria, e caracterizamos os pontos de torsão em $E(\mathbb{Q})$, via a prova do teorema de Nagell-Lutz. O capítulo 5 é dedicado à demonstração do teorema de Mordell e, no capítulo seguinte, estudamos uma caracterização do posto de uma curva elíptica apresentada em [1] envolvendo a determinação de soluções de equações diofantinas particulares. Esta caracterização nos permite determinar explicitamente o posto de uma classe de curvas, veja os artigos [4], [9] e [10], a saber, as curvas do tipo

$$y^2 = x^3 - px, \text{ onde } p \text{ é um primo da forma } p = u^4 + v^4 \text{ ou } p = 2^q - 1, u, v \in \mathbb{Z}$$

e

$$y^2 = x^3 - 2px, \text{ onde } p \text{ é um primo e } 2p = (u^2 + 2v^2)^4 + (u^2 - 2v^2)^4, u, v \in \mathbb{Z}.$$

Neste capítulo, apresentaremos curvas elípticas de posto igual a zero, um, dois e três.

Capítulo 2

Curvas Planas

Neste capítulo introduzimos as definições de curvas algébricas planas (afim e projetiva) e de multiplicidade de interseção de curvas planas em um ponto. Demonstramos o Teorema de Bezout, que afirma precisamente quantos pontos temos na interseção de duas curvas planas, quando computados de maneira adequada; este teorema é essencial para a teoria de curvas elípticas.

A teoria desenvolvida neste capítulo está contida nos primeiros capítulos do livro [11], [12].

2.1 Curvas Planas e o Plano Projetivo

Neste capítulo, \mathbb{K} denota um corpo e $\overline{\mathbb{K}}$ o seu fecho algébrico.

Definição 1. *Seja $p(x, y)$ um polinômio não constante em $\mathbb{K}[x, y]$. A curva plana afim C_p sobre \mathbb{K} determinada por $p(x, y)$ é o conjunto*

$$C_p = \{(x, y) \in \overline{\mathbb{K}}^2; p(x, y) = 0\}.$$

Utilizamos também a notação $C_p : p(x, y) = 0$. Se \mathbb{F} é um corpo contendo \mathbb{K} , denotamos

$$C_p(\mathbb{F}) = \{(x, y) \in \mathbb{F}^2; p(x, y) = 0\}.$$

Definimos o grau da curva como o grau do polinômio que a define. Curvas de graus 1, 2 e 3 são ditas, respectivamente, retas, cônicas e cúbicas.

Sejam $y = m_1x + k_1$ e $y = m_2x + k_2$, $m_i, k_i \in \mathbb{R}$ para $i = 1, 2$, duas retas distintas. De modo geral, estas retas se intersectam em um único ponto em \mathbb{R}^2 . Mas, se $m_1 = m_2$, então as retas são paralelas e esta interseção é vazia no plano afim \mathbb{R}^2 . Estenderemos então o plano afim adicionando "pontos no infinito", de modo que esta interseção seja não vazia.

Para vermos de que maneira devemos adicionar pontos ao plano afim, considere r e s duas retas concorrentes e r', s' retas paralelas a r e s , respectivamente.

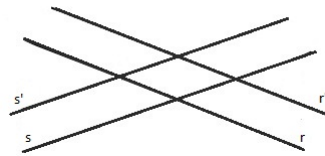


Figura 2.1: Pares de Retas Paralelas

Não podemos adicionar um único ponto no infinito definindo a interseção de qualquer par de retas paralelas, pois teríamos assim que as retas r e r' se intersectariam em dois pontos, como descrito abaixo.

Convém então adicionar um ponto no infinito para cada direção do plano afim ou, equivalentemente, para cada reta contendo a origem. A cada par de números reais (a, b) , $ab \neq 0$, corresponde uma reta $ax = by$. Mas, como dois pares (a, b) e (a', b') determinam a mesma reta contendo a origem se e somente se existe um número real t não nulo tal que $ta = a'$ e $tb = b'$, adicionaremos ao plano afim os elementos do conjunto a seguir, ditos os *pontos no infinito*. Eles são definidos via a seguinte relação de equivalência em \mathbb{R}^2 , e são denotados por

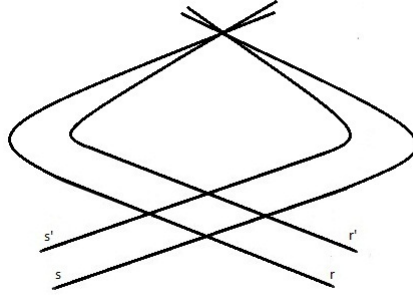


Figura 2.2: Ponto no Infinito

$\mathbb{P}^1(\mathbb{R})$:

$$(x_1, x_2) \sim (y_1, y_2) \iff \exists t \in \mathbb{R} \setminus \{0\} \text{ tal que } tx_j = y_j, j = 1, 2,$$

$\mathbb{P}^1(\mathbb{R}) = \frac{\{(x_1, x_2) \in \mathbb{R}^2; (x_1, x_2) \neq (0, 0)\}}{\sim}$, o conjunto das classes de equivalência da relação \sim .

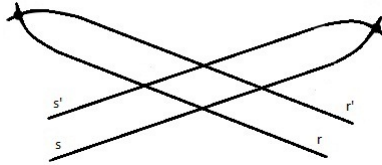


Figura 2.3: Pontos no Infinito

Seja $\mathbb{P}^2(\mathbb{R}) = \{(x_1, x_2, x_3) \in \mathbb{R}^3; (x_1, x_2, x_3) \neq (0, 0, 0)\} / \sim$, onde \sim é a relação de equivalência em \mathbb{R}^3 definida de maneira análoga. Note que existe uma bijeção entre os pontos de $\mathbb{P}^2(\mathbb{R})$ e $\mathbb{R}^2 \cup \mathbb{P}^1(\mathbb{R})$:

$$[x : y : z] \mapsto \begin{cases} (x/z, y/z), & \text{se } z \neq 0 \\ [x : y], & \text{se } z = 0 \end{cases}$$

Motivados por esta correspondência, definimos o plano projetivo sobre o corpo \mathbb{K} da seguinte maneira.

Definição 2. Considere seguinte a relação de equivalência entre pontos de \mathbb{K}^3 :

$$(x_1, x_2, x_3) \sim (y_1, y_2, y_3) \iff \exists t \in \mathbb{K} \setminus \{0\} \text{ tal que } tx_j = y_j, \quad j = 1, 2, 3.$$

Definimos o Plano Projetivo sobre \mathbb{K} como o conjunto destas classes de equivalência

$$\mathbb{P}^2(\mathbb{K}) = \frac{\{(x_1, x_2, x_3) \in \mathbb{K}^3; (x_1, x_2, x_3) \neq (0, 0, 0)\}}{\sim}.$$

Se (x_1, x_2, x_3) é um ponto de \mathbb{K}^3 , $(x_1, x_2, x_3) \neq (0, 0, 0)$, sua classe de equivalência é denotada por $[x_1 : x_2 : x_3]$.

Podemos ainda visualizar o plano projetivo como o conjunto de retas de \mathbb{K}^3 contendo a origem, e identificar via uma projeção os pontos do plano afim \mathbb{K}^2 com a interseção destas retas com um plano qualquer em \mathbb{K}^3 que não contenha a origem, por exemplo o plano $z = 1$.

Para definirmos curvas planas projetivas, devemos destacar o fato de que um ponto no plano projetivo é uma classe de equivalência, logo possui vários representantes. Portanto, para a definição de curva plana projetiva ser consistente, devemos trabalhar com uma classe específica de polinômios.

Definição 3. Um polinômio $P(X, Y, Z)$ em $\mathbb{K}[X, Y, Z]$ é dito homogêneo de grau d se cada um de seus monômios possui grau d .

Proposição 1. Seja $F(X, Y, Z)$ um polinômio em $\mathbb{K}[X, Y, Z]$ de grau $d \geq 1$. Então $F(X, Y, Z)$ é homogêneo se e somente se, para todo $t \in \mathbb{K} \setminus \{0\}$, $F(tX, tY, tZ) = t^d F(X, Y, Z)$.

Temos então que, se $F(X, Y, Z)$ é homogêneo e $F(x, y, z) = 0$, então $F(tx, ty, tz) = 0$ para todo $t \in \mathbb{K} \setminus \{0\}$.

Definição 4. Seja $P(X, Y, Z)$ um polinômio homogêneo não constante em $\mathbb{K}[X, Y, Z]$. A curva algébrica plana projetiva C_P sobre \mathbb{K} determinada por $P(X, Y, Z)$ é o conjunto

$$C_P = \{[x : y : z] \in \mathbb{P}^2(\overline{\mathbb{K}}); P(x, y, z) = 0\}.$$

Se \mathbb{F} é um corpo contendo \mathbb{K} , denotaremos

$$C_P(\mathbb{F}) = \{[x : y : z] \in \mathbb{P}^2(\mathbb{F}); P(x, y, z) = 0\}.$$

Definimos o grau da curva algébrica plana C_P como o grau do polinômio $P(X, Y, Z)$ que a define e a denotamos por $C_P : P(X, Y, Z) = 0$. Curvas projetivas de graus 1, 2 e 3 são ditas, respectivamente, retas, cônicas e cúbicas projetivas.

Seja $C_F : F(X, Y, Z) = 0$ uma curva plana projetiva, $F(X, Y, Z) \in \mathbb{K}[X, Y, Z]$. O plano projetivo pode ser visto como $\mathbb{P}^2(\overline{\mathbb{K}}) = \overline{\mathbb{K}}^2 \cup \mathbb{P}^1(\overline{\mathbb{K}})$, onde identificamos os pontos de $\overline{\mathbb{K}}^2$ com os do conjunto $\{[x_1 : x_2 : x_3] \in \mathbb{P}^2(\overline{\mathbb{K}}); x_3 = 1\}$. Assim motivados, dizemos que a curva plana afim C_f , definida por $f(x, y) := F(x, y, 1)$, é um modelo afim da curva C_F ; este processo é chamado de desomogeneização de C_F . Note que existe uma bijeção entre o conjunto $\{[x_1 : x_2 : x_3] \in C_F; x_3 \neq 0\}$ e o modelo afim da curva:

$$\begin{aligned} \{[x_1 : x_2 : x_3] \in C_F; x_3 \neq 0\} &\longmapsto C_f = \{(x, y) \in \overline{\mathbb{K}}^2; f(x, y) = 0\} \\ [x_1 : x_2 : x_3] &\longmapsto \left(\frac{x_1}{x_3}, \frac{x_2}{x_3} \right). \end{aligned}$$

A desomogeneização de curvas projetivas pode ser feita, conforme descrito acima, com respeito a qualquer uma das três variáveis. Assim temos vários modelos afim de uma mesma curva plana projetiva, que podem ser vistos como projeções da curva C_F nos planos $x = 1$, $y = 1$ ou $z = 1$.

Reciprocamente, seja $f(x, y) \in \mathbb{K}[x, y]$ um polinômio de grau d , digamos

$$f(x, y) = \sum_{j,k} a_{j,k} x^j y^k.$$

Definimos a homogeneização de $f(x, y)$ por

$$F(X, Y, Z) = \sum_{j,k} a_{j,k} X^j Y^k Z^{d-(j+k)}.$$

Note que $F(X, Y, Z)$ é um polinômio homogêneo de grau d tal que o modelo afim da curva C_F , obtido a partir da desomogeneização com respeito a variável z , é C_f .

2.2 A Resultante e Interseções entre Curvas

Considere uma reta e uma parábola definidas sobre \mathbb{R} . Elas podem não se intersectar em \mathbb{R}^2 mas, quando consideramos pontos de interseção no plano complexo \mathbb{C}^2 , temos, de modo geral, dois pontos nesta interseção. Porém, quando a reta tangencia esta parábola, temos a princípio um único ponto de interseção; mas é razoável computar este ponto como um ponto "duplo" de interseção, uma vez que pontos distintos de interseção convergem para um ponto único de tangência, conforme descrito nas figuras abaixo.

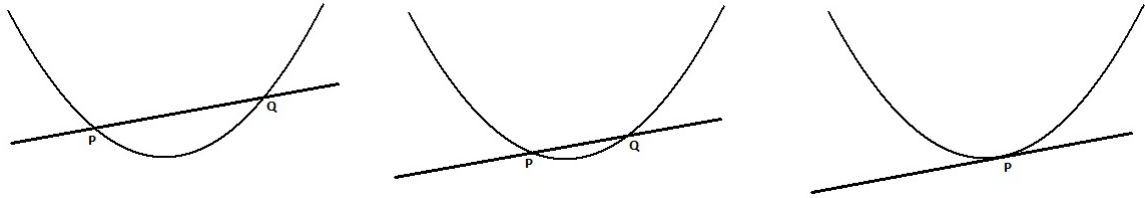


Figura 2.4: Retas Secantes e Tangente a uma Parábola

Isto nos leva à intuição de que a interseção entre curvas de graus m e n contém mn pontos. O Teorema de Bezout afirma que este raciocínio está correto, quando computamos corretamente os pontos de interseção entre curvas planas projetivas, isto é, quando buscamos os pontos no plano projetivo sobre o fecho algébrico do corpo de definição das curvas e levamos em conta como as curvas se intersectam nestes pontos. Estas curvas devem satisfazer uma outra hipótese, derivada da definição abaixo.

Um polinômio homogêneo $F(X, Y, Z) \in \mathbb{K}[X, Y, Z]$ pode ser fatorado como $F = F_1 F_2$, $F_1, F_2 \in \mathbb{K}[X, Y, Z]$, se e somente se cada polinômio F_j , $j = 1, 2$, é homogêneo. Logo, cada polinômio $F_j(X, Y, Z)$ define uma curva plana projetiva $C_{F_j} : F_j(X, Y, Z) = 0$.

Definição 5. *Seja $C_F : F(X, Y, Z) = 0$ uma curva plana projetiva e $F = F_1 F_2 \dots F_n$ a fatoração de F sobre \mathbb{K} em polinômios irredutíveis. Cada curva $C_{F_j} : F_j(X, Y, Z) = 0$, $j = 1, \dots, n$, é dita uma componente irredutível de C_F .*

Mostraremos primeiramente que a interseção entre duas curvas planas afins é finita se os polinômios que as definem não possuem componente comum não constante. Utilizaremos o seguinte lema na demonstração.

Lema 1 (Lema de Gauss). *Sejam D um domínio de fatoração única, \mathbb{D} seu corpo de frações e $f(x) = a_n x^n + \dots + a_1 x + a_0$ um polinômio em $D[x]$ tal que*

$$\exists t \in D \text{ tal que } t \mid a_j, \forall 0 \leq j \leq n \iff t \text{ é unidade em } D.$$

Então $f(x)$ é redutível em $D[x]$ se, e somente se, $f(x)$ é redutível em $\mathbb{D}[x]$.

Demonstração. A demonstração deste lema pode ser encontrada na página 54 do livro [2]. \square

Proposição 2. *Sejam $f(x, y)$ e $g(x, y)$ polinômios sem componentes comuns em $\mathbb{K}[x, y]$. Então a interseção entre as curvas planas afins $C_f : f(x, y) = 0$ e $C_g : g(x, y) = 0$ é finita.*

Demonstração. Temos que $f(x, y)$ e $g(x, y)$ podem ser vistos como polinômios em $\mathbb{K}(x)[y]$, onde $\mathbb{K}(x)$ é o corpo frações de $\mathbb{K}[x]$. Pelo Lema de Gauss, temos que f e g também serão relativamente primos em $\mathbb{K}(x)[y]$, logo existem $r(x), s(x) \in \mathbb{K}(x)$ tais que

$$r(x)f(x, y) + s(x)g(x, y) = 1,$$

e, escrevendo $r(x) = \frac{r_1(x)}{r_2(x)}$, $s(x) = \frac{s_1(x)}{s_2(x)}$ onde $r_1, r_2, s_1, s_2 \in \mathbb{K}[x]$, obtemos

$$\frac{r_1(x)}{r_2(x)}f(x, y) + \frac{s_1(x)}{s_2(x)}g(x, y) = 1 \iff r_1(x)s_2(x)f(x, y) + r_2(x)s_1(x)g(x, y) = r_2(x)s_2(x).$$

Vemos então que existe um número finito de valores para x_0 tais que $f(x_0, y) = g(x_0, y) = 0$, limitado pelo número de raízes de $r_2(x)s_2(x) = 0$. Para cada x_0 fixado existe um número finito de valores para y_0 tais que $f(x_0, y_0) = 0$, como gostaríamos. \square

Este resultado pode ser estendido para curvas planas projetivas. Se $F(X, Y, Z)$ e $G(X, Y, Z)$ são polinômios homogêneos em $\mathbb{K}[X, Y, Z]$, a interseção entre as curvas planas projetivas

posição(ou bem posicionadas) se P_0, P_i e P_j não são colineares para cada $P_i \neq P_j \in C_F \cap C_G$. Em particular, se C_F e C_G estão bem posicionadas então $P_0 \notin C_F \cap C_G$.

Note que, se C_F e C_G estão bem posicionadas, então $[x_i : z_i] \neq [x_j : z_j]$ sempre que $i \neq j$. De fato, uma reta projetiva sobre $\overline{\mathbb{K}}$ que contém P_0 é da forma $L(\overline{\mathbb{K}}) : \alpha X + \gamma Z = 0$. Se $P_i = [x_i : y_i : z_i]$ pertence a $L = L(\overline{\mathbb{K}})$, então $\alpha = -z_i$ e $\gamma = x_i$. Segue então que $P_j = [x_j : y_j : z_j]$ pertence a L se, e somente se $z_i x_j = x_i z_j$. Se $x_i = 0$, então devemos ter $z_i = 0$ pois $[x_i : z_i] \neq [x_j : z_j]$, donde $P_i = P_0$, um absurdo. Logo x_1, z_1, x_2, z_2 , são não nulos e assim

$$\frac{x_i}{x_j} = \frac{z_i}{z_j},$$

isto é, existe $t \neq 0$ tal que $x_j = tx_i$ e $z_j = tz_i$.

Escreva $F(X, Y, Z) = A_0 Y^m + \dots + A_m$, $G(X, Y, Z) = B_0 Y^n + \dots + B_n$, como na Proposição 4 e suponha C_F e C_G bem posicionadas. Temos que $P_0 \in C_F$ se e somente se $A_0 = 0$, logo não podemos ter simultaneamente A_0 e B_0 nulos; segue da Proposição 4 que a resultante $R(X, Z) = R_{F,G}(X, Z)$ é um polinômio homogêneo de grau mn . Mais ainda, como $A_0 = B_0 = 0$ não é possível, temos pela Proposição 3 que, para todo $[x : z] \in \mathbb{P}^1(\overline{\mathbb{K}})$,

$$R(x, z) = 0 \iff \exists y \in \overline{\mathbb{K}} \text{ tal que } [x : y : z] \in C_F \cap C_G.$$

Em particular, a interseção entre C_F e C_G é não vazia. Logo, se $P_i = [x_i : y_i : z_i]$, $i = 1, \dots, r$, são os pontos distintos da interseção entre C_F e C_G , então $R(X, Z)$ pode ser fatorada como

$$R(X, Z) = c \prod_{i=1}^r (z_i X - x_i Z)^{m_i},$$

onde $c \in \overline{\mathbb{K}}$ é não nulo e $\sum_{i=1}^r m_i = mn$.

Definição 8. De acordo com a notação acima, a multiplicidade de interseção de C_F e C_G em um ponto $P \in \mathbb{P}^2(\overline{\mathbb{K}})$ é dada por

$$(C_F, C_G)_P = \begin{cases} 0, & \text{se } P \notin C_F \cap C_G \\ m_i, & \text{se } P = P_i \in C_F \cap C_G. \end{cases}$$

Então, definindo multiplicidade de interseção de duas curvas em um ponto apropriadamente, temos demonstrado o seguinte resultado, versão preliminar do Teorema de Bezout.

Proposição 5. *Sejam $C_F : F(X, Y, Z) = 0$ e $C_G : G(X, Y, Z) = 0$ duas curvas planas projetivas sem componentes comuns de graus m e n respectivamente. Então, se elas estão em boa posição,*

$$\sum_{P \in C_F \cap C_G} (C_F, C_G)_P = mn.$$

Agora precisamos definir multiplicidade de interseção para curvas que não estejam em boa posição. Para isso, vamos trabalhar com o conceito de mudanças de coordenadas projetivas. Seja

$$T' : \mathbb{K}^3 \longrightarrow \mathbb{K}^3$$

$$(x, y, z) \longmapsto T'(x, y, z) = (x', y', z')$$

um isomorfismo linear entre espaços vetoriais. Tal aplicação induz uma bijeção

$$T : \mathbb{P}^2(\overline{\mathbb{K}}) \longrightarrow \mathbb{P}^2(\overline{\mathbb{K}}),$$

$$[x : y : z] \longmapsto [x' : y' : z']$$

bem definida pois T' preserva retas contendo a origem, que chamamos de mudança de coordenadas projetivas. Se $C_F : F(X, Y, Z) = 0$ é uma curva plana projetiva, definimos

$$T \circ C_F = \{[x : y : z] \in \mathbb{P}^2(\overline{\mathbb{K}}); T^{-1}([x : y : z]) \in C_F\},$$

isto é, $T \circ C_F$ é composta pelos pontos de $\mathbb{P}^2(\overline{\mathbb{K}})$ que satisfazem a equação $F(T^{-1}(X, Y, Z)) = 0$.

Lema 2. *Sejam $C_F : F(X, Y, Z) = 0$ e $C_G : G(X, Y, Z) = 0$ duas curvas planas projetivas sem componentes comuns. Então existe uma mudança de coordenadas projetivas tal que C_F e C_G estão em boa posição.*

Demonstração. Suponha que C_F e C_G não estão em boa posição e sejam $P_j = [x_j : y_j : z_j]$, $j = 1, \dots, r$, os pontos distintos na interseção. O conjunto de retas determinadas pelos pares (Q_i, Q_j) , Q_i, Q_j pontos de $(C_F \cap C_G) \cup \{P_0\}$, é finito. Segue então que, fixando P um ponto não pertencente à união destas retas e T uma mudança de coordenadas tal que $T(P) = [0 : 1 : 0]$, as novas curvas $T \circ C_F$ e $T \circ C_G$ estarão em boa posição. De fato, se $[0 : 1 : 0]$, Q_1 e Q_2 são pontos colineares em $T(C_F) \cap T(C_G)$, então P , $T^{-1}(Q_1)$ e $T^{-1}(Q_2)$ são pontos colineares e $T^{-1}(Q_1)$ e $T^{-1}(Q_2)$ pertencem à interseção $C_F \cap C_G$, um absurdo. \square

Definição 9. *Sejam $C_F : F(X, Y, Z) = 0$ e $C_G : G(X, Y, Z) = 0$ duas curvas planas projetivas sem componentes comuns e T uma mudança de coordenadas projetiva tal que $T \circ C_F$ e $T \circ C_G$ estão em boa posição. Definimos a multiplicidade de interseção de C_F e C_G por*

$$(C_F, C_G)_P = (T \circ C_F, T \circ C_G)_{T(P)}.$$

O resultado abaixo mostra que a definição acima não depende da mudança de coordenadas escolhida.

Proposição 6. *Sejam $C_F : F(X, Y, Z) = 0$ e $C_G : G(X, Y, Z) = 0$ duas curvas planas projetivas sem componentes comuns, $F, G \in \mathbb{K}[X, Y, Z]$. Suponha que C_F e C_G estão bem posicionadas e T é uma mudança de coordenadas projetiva tal que $T \circ C_F$ e $T \circ C_G$ também estão em boa posição. Então*

$$(C_F, C_G)_P = (T \circ C_F, T \circ C_G)_{T(P)}.$$

Demonstração. Seja W uma mudança de coordenadas projetiva genérica definida por nove indeterminadas (elementos transcendentes sobre o corpo \mathbb{K}) $w_{i,j}$, $i, j = 1, 2, 3$. Sejam $\overline{\mathbb{K}}(w_{i,j})$ o corpo de frações do anel de polinômios $\overline{\mathbb{K}}[w_{i,j}]$ e \mathbb{L} o seu fecho algébrico.

Temos que $\mathbb{P}^2(\overline{\mathbb{K}})$ está contido em $\mathbb{P}^2(\mathbb{L})$, mas $C_F(\mathbb{L}) \cap C_G(\mathbb{L}) = C_F(\overline{\mathbb{K}}) \cap C_G(\overline{\mathbb{K}})$. De fato, os pontos na interseção entre $C_F(\mathbb{L})$ e $C_G(\mathbb{L})$ são, como vimos na seção anterior, as raízes de

um polinômio com coeficientes em $\overline{\mathbb{K}}$; como $\overline{\mathbb{K}}$ é algebricamente fechado, as coordenadas das raízes deste polinômio estão contidas em $\overline{\mathbb{K}}$. Mais ainda, um ponto P pertence à interseção entre $C_F(\mathbb{L})$ e $C_G(\mathbb{L})$ se e somente se $W(P) \in (W \circ C_F(\mathbb{L})) \cap (W \circ C_G(\mathbb{L}))$, por definição destas curvas.

Note que $W^{-1}(X, Y, Z)$ possui coeficientes que são frações cujos denominadores são polinômios nas variáveis $w_{i,j}$, $j = 1, 2, 3$, então existe $c_W \in \overline{\mathbb{K}}[w_{i,j}]$ tal que $\overline{F}(X, Y, Z) = c_W F(W^{-1}(X, Y, Z))$ é um polinômio em $\mathbb{L}[X, Y, Z]$. Além disso, como $c_W \in \mathbb{L}$, $F(W^{-1}(X, Y, Z))$ e $\overline{F}(X, Y, Z)$ definem as mesmas curvas sobre $\mathbb{P}^2(\mathbb{L})$.

As curvas $C_{\overline{F}}(\mathbb{L})$ e $C_{\overline{G}}(\mathbb{L})$ estão bem posicionadas, pois se $P_0 = [0 : 1 : 0]$ pertence à interseção $C_{\overline{F}}(\mathbb{L}) \cap C_{\overline{G}}(\mathbb{L})$, então existe $P \in C_F(\overline{\mathbb{K}}) \cap C_G(\overline{\mathbb{K}})$ tal que $W(P) = P_0$, isto é,

$$\begin{pmatrix} w_{1,1} & w_{1,2} & w_{1,3} \\ w_{2,1} & w_{2,2} & w_{2,3} \\ w_{3,1} & w_{3,2} & w_{3,3} \end{pmatrix} \begin{pmatrix} x(P) \\ y(P) \\ z(P) \end{pmatrix} = \begin{pmatrix} 0 \\ 1 \\ 0 \end{pmatrix},$$

contrariando a condição de elementos transcendentais sobre \mathbb{K} de $w_{i,j}$, $j = 1, 2, 3$. Calculando a resultante entre \overline{F} e \overline{G} , temos que

$$R_{\overline{F}, \overline{G}}(X, Z) = \overline{c} \prod_{i=1}^{\overline{r}} (\overline{z}_i X - \overline{x}_i Z)^{\overline{m}_i},$$

onde, para cada $i = 1, \dots, r$, existe $[\overline{x}_i : \overline{y}_i : \overline{z}_i] \in C_{\overline{F}}(\overline{\mathbb{K}}) \cap C_{\overline{G}}(\overline{\mathbb{K}})$. Mas um ponto $[\overline{x}_i : \overline{y}_i : \overline{z}_i]$ pertence a esta interseção se e somente se $[\overline{x}_i : \overline{y}_i : \overline{z}_i] = W([x_i : y_i : z_i])$ para algum ponto $[x_i : y_i : z_i] \in C_F(\overline{\mathbb{K}}) \cap C_G(\overline{\mathbb{K}})$; portanto, escrevendo

$$R_{F,G}(X, Z) = c \prod_{i=1}^r (z_i X - x_i Z)^{m_i},$$

temos que $r_i = \overline{r}_i$ e $m_i = \overline{m}_i$ para $i = 1, \dots, r$.

Finalmente, se T é uma mudança de coordenadas projetiva definida por $t_{i,j}$, $i, j = 1, 2, 3$, fazendo $w_{i,j} = t_{i,j}$ para $i, j = 1, 2, 3$, temos que

$$(C_F, C_G)_P = (T \circ C_F, T \circ C_G)_{T(P)},$$

como gostaríamos. □

Podemos ainda visualizar a definição de multiplicidade de interseção de curvas em um ponto de outra maneira, através do resultado a seguir que pode ser encontrado no livro [6].

Proposição 7. *Sejam P_0 um ponto qualquer do plano afim \mathbb{K}^2 e*

$$\mathcal{F}(\mathbb{K}) = \{(C_f, C_g); f, g \in \mathbb{K}[x, y] \text{ e } C_f, C_g \text{ não têm componente comum contendo } P_0\}.$$

Existe uma única aplicação $(C_f, C_g) \in \mathcal{F}(\mathbb{K}) \mapsto (C_f, C_g)_{P_0} \in \mathbb{N}$ satisfazendo as seguintes propriedades.

1. $(C_f, C_g)_{P_0} = 1$, se $f(x, y) = x$ e $g(x, y) = y$;
2. $(C_f, C_g)_{P_0} = (C_g, C_f)_{P_0}$, $\forall (C_f, C_g) \in \mathcal{F}(\mathbb{K})$;
3. $(C_f, C_{gh})_{P_0} = (C_f, C_g)_{P_0} + (C_f, C_h)_{P_0}$, $\forall (C_f, C_g), (C_f, C_h) \in \mathcal{F}(\mathbb{K})$;
4. $(C_f, C_{g+fh})_{P_0} = (C_f, C_g)_{P_0}$, $\forall (C_f, C_g), (C_f, C_h) \in \mathcal{F}(\mathbb{K})$;
5. $(C_f, C_g)_{P_0} = 0$, se $P_0 \notin C_g$ e $(C_f, C_g) \in \mathcal{F}(\mathbb{K})$.

Demonstração. A demonstração deste resultado pode ser encontrada no livro [6]. □

Se $C_F : F(X, Y, Z) = 0$ e $C_G : G(X, Y, Z) = 0$ são curvas planas projetivas e $P = [x : y : z]$ é um ponto qualquer de $\mathbb{P}^2(\mathbb{K})$, podemos desomogeneizar as curvas, por exemplo em relação a variável Z , e obter curvas planas afins $C_f : f(x, y) = 0$, $C_g : g(x, y) = 0$ e o ponto $P_0 = (a, b)$ correspondente a $P = [a : b : 1]$. Temos então que a multiplicidade de interseção entre C_F e C_G no ponto P coincide com $(C_f, C_g)_{P_0}$. Isto fornece uma definição equivalente de multiplicidade de interseção.

Note que esta Proposição fornece um algoritmo para o cálculo da multiplicidade de interseção entre curvas em um ponto, conforme descrito no exemplo abaixo.

Exemplo 1: Considere $f(x, y) = x$ e $g(x, y) = y^2 - x^3 + x$. A multiplicidade de interseção entre estas curvas no ponto $P = (0, 0)$ é dada por:

$$(C_f, C_g)_P = (x, y^2 - x^3 + x)_P = (x, y^2 - x(x^2 - 1))_P = (x, y^2)_P = (x, y)_P + (x, y)_P = 1 + 1 = 2,$$

onde, por simplicidade, $(f(x, y), g(x, y))_P = (C_f, C_g)_P$. De fato, as curvas planas $y^2 = x^3 - x$ e $x = 0$ se tangenciam no ponto $P = (0, 0)$.

Podemos agora enunciar e demonstrar o Teorema de Bezout.

Teorema 1. *Sejam $C_F : F(X, Y, Z) = 0$ e $C_G : G(X, Y, Z) = 0$ duas curvas planas projetivas sem componentes comuns de graus m e n respectivamente. Então,*

$$\sum_{P \in C_F \cap C_G} (C_F, C_G)_P = mn.$$

Demonstração. Se C_F e C_G estão em boa posição, o resultado segue diretamente da Proposição 5. Se estas curvas não estão em boa posição, existe uma mudança de coordenadas projetiva T tal que $T \circ C_F$ e $T \circ C_G$ estão em boa posição e então, novamente pela Proposição 5, segue o resultado. \square

Corolário 1. *Se duas curvas de graus m e n se intersectam em mais de mn pontos, então elas possuem uma componente em comum.*

O Teorema a seguir, cuja demonstração é encontrada em [12], é essencial para a teoria de curvas elípticas.

Teorema 2. *Sejam C_{F_1} e C_{F_2} duas cúbicas sem componentes comuns. Sejam ainda P_1, \dots, P_9 os pontos distintos na interseção $C_{F_1} \cap C_{F_2}$. Se C_F é uma terceira cúbica que contém P_1, \dots, P_8 , então $P_9 \in C_F$.*

Demonstração. Se existirem $\lambda, \mu \in \overline{\mathbb{K}}$ tais que $F = \lambda F_1 + \mu F_2$, então é claro que C_F contém P_9 . Suponha que isto não ocorra, isto é, que não exista solução (λ, μ, ν) não trivial em $\overline{\mathbb{K}}^3$

para $\lambda F_1 + \mu F_2 + \nu F = 0$. Então, para cada par de pontos A, B fixados, podemos escolher $(\lambda, \mu, \nu) \in \overline{\mathbb{K}}^3$ de modo que a curva $C_{\overline{F}}$, definida por $\overline{F} = \lambda F_1 + \mu F_2 + \nu F$, contenha A e B .

Note que não podemos ter quatro pontos colineares dentre P_1, \dots, P_9 , pois seguiria do Corolário 1 que esta reta seria componente comum entre C_{F_1} e C_{F_2} . Analogamente, não podemos ter sete destes nove pontos contidos em uma única cônica.

Dividiremos a demonstração em três casos possíveis, de acordo com a disposição dos pontos P_1, \dots, P_9 .

Caso 1: Suponha P_1, P_2 e P_3 contidos em uma reta C_L . Devemos ter P_4, \dots, P_8 contidos em uma única cônica C_Q . De fato, se duas cônicas C_{Q_1} e C_{Q_2} possuem cinco pontos distintos de interseção, então elas possuem uma componente comum; como estamos supondo que estas cônicas são distintas, segue que esta componente deve ser uma reta $C_{\tilde{L}}$. Como as outras componentes de C_{Q_1} e C_{Q_2} são retas distintas, elas se intersectam em apenas um ponto e então temos quatros pontos dentre os nove pontos iniciais contidos em $C_{\tilde{L}}$, impossível.

Sejam A um ponto de C_L distinto de P_1, P_2, P_3 e B um ponto qualquer fora de C_Q e C_L . Escolhendo (λ, μ, ν) de modo que $C_{\overline{F}}$ contenha os pontos A e B , temos que C_L é componente de $C_{\overline{F}}$, pois $(C_L \cap C_{\overline{F}}) \supseteq \{A, P_1, P_2, P_3\}$. Segue do argumento acima que C_L e C_Q são as componentes de $C_{\overline{F}}$, pois P_4, \dots, P_8 não pertencem a C_L . Mas isto é impossível pela escolha de A e B .

Caso 2: Suponha que P_1, \dots, P_6 estão contidos em uma cônica C_Q . Sejam C_L a reta passando por P_7 e P_8 , A um ponto de C_Q distinto de P_1, \dots, P_6 e B um ponto qualquer fora de C_Q e C_L . Escolhendo (λ, μ, ν) de modo que $C_{\overline{F}}$ contenha A e B , teremos que C_Q é componente de $C_{\overline{F}}$, pois contém sete pontos na interseção com C_Q : A, P_1, \dots, P_6 .

Seja $C_{\tilde{L}}$ a outra componente de $C_{\overline{F}}$. Não podemos ter P_7 ou P_8 pertencentes a C_Q , pois assim C_Q seria componente comum de C_{F_1} e C_{F_2} . Como C_L e $C_{\tilde{L}}$ têm dois pontos em comum, temos que $C_L = C_{\tilde{L}}$, mas isto é impossível pela escolha de B .

Caso 3: Suponha que não temos três pontos colineares dentre P_1, \dots, P_9 e que nenhuma cônica contém seis destes pontos. Sejam C_L a reta contendo P_1, P_2 e C_Q uma cônica contendo P_3, \dots, P_7 . Sejam ainda A, B pontos quaisquer de C_L distintos de P_1 e P_2 e escolha (λ, μ, ν) de modo que $C_{\overline{F}}$ contenha A e B .

Como A, B, P_1 e P_2 pertencem a C_L e $C_{\overline{F}}$, segue que C_L é componente desta cúbica. Escrevendo $\overline{F} = L.\tilde{Q}$, temos que P_3, \dots, P_7 devem pertencer a $C_{\tilde{Q}}$ por hipótese. Como C_Q e $C_{\tilde{Q}}$ possuem cinco pontos distintos em sua interseção, temos que $C_Q = C_{\tilde{Q}}$ e assim $\overline{F} = L.Q$. Mas isto é um absurdo pois $P_8 \in C_{\overline{F}}$ mas P_8 não pertence a C_Q ou C_L . \square

Capítulo 3

Curvas elípticas

3.1 Definição

Nesta seção, \mathbb{F} e \mathbb{K} denotam corpos de característica diferente de 2 e 3.

Definição 10. *Uma curva elíptica E sobre um corpo \mathbb{K} é uma curva projetiva definida por uma equação do tipo*

$$Y^2Z = X^3 + aXZ^2 + bZ^3, \quad (3.1)$$

onde $a, b \in \mathbb{K}$ e o discriminante $\Delta = -4a^3 - 27b^2$ de E é não nulo.

É fácil ver que o discriminante Δ é não nulo se, e somente se a curva é não singular. Note também que esta curva projetiva possui apenas um ponto no infinito $\mathcal{O} = [0 : 1 : 0]$. Desse modo trabalharemos com o modelo afim da curva elíptica

$$E : y^2 = x^3 + ax + b \quad (3.2)$$

sabendo que a curva projetiva consiste de todos os pontos finitos e um ponto no infinito.

Cabe ressaltar que, se E é uma curva elíptica sobre \mathbb{Q} , a menos de uma transformação

do tipo $(x, y) \mapsto (c^2x, c^3y)$, $c \in \mathbb{Z}$, o modelo afim da curva E sempre pode ser escrito na forma $y^2 = x^3 + ax + b$, onde a e b são inteiros.

Uma definição alternativa de curva elíptica que também usaremos é: cúbica não singular sobre \mathbb{K} com um ponto racional. De fato, toda cúbica não singular é isomorfa a uma cúbica definida por uma equação do tipo $y^2 = x^3 + ax + b$, conforme está descrito no livro [8].

Proposição 8. *Toda cúbica não singular é isomorfa a uma cúbica do tipo $y^2 = x^3 + ax + b$.*

Demonstração. Seja

$$C : AX^3 + BY^3 + CZ^3 + DX^2Y + EX^2Z + FXY^2 + GY^2Z + HXZ^2 + IYZ^2 + JXYZ = 0$$

uma cúbica não singular com um ponto racional. Escolheremos um sistema de coordenadas tais que, nas novas coordenadas, a equação da curva seja como em (3.1). Escolhemos $\mathcal{O} = [1 : 0 : 0]$ como as novas coordenadas do ponto racional e a reta $Z = 0$ de modo que esta seja tangente à cúbica em \mathcal{O} ; como a interseção entre C e a reta $Z = 0$ é descrita pela equação

$$AX^3 + BY^3 + DX^2Y + FXY^2 = 0, \quad (3.3)$$

devemos ter $A = D = 0$. Vamos supor que $F \neq 0$, isto é, que \mathcal{O} não é ponto de inflexão da curva. Logo a reta $Z = 0$ intersecta a cúbica em um ponto diferente de \mathcal{O} , cujas coordenadas escolhemos ser $[0 : 1 : 0]$. Portanto, da equação (3.3), vemos que $B = 0$. Escolhemos a reta $X = 0$ como a reta tangente à cúbica em $[0 : 1 : 0]$; como a interseção entre esta reta e a cúbica é descrita por

$$CZ^3 + GY^2Z + IYZ^2 = 0,$$

devemos ter que $G = 0$. Escolhendo a reta $Y = 0$ como qualquer reta distinta de $Z = 0$ contendo o ponto \mathcal{O} , obtemos nas novas coordenadas uma cúbica projetiva

$$C : C'Z^3 + E'X^2Z + XY^2 + H'XZ^2 + I'YZ^2 + J'XYZ = 0. \quad (3.4)$$

Desomogeneizando em relação a variável Z , obtemos a equação

$$xy^2 + J'xy + I'y = -E'x^2 - H'x - C' \iff (xy)^2 + xy(J'x + I) = -E'x^3 - H'x^2 - C'x.$$

Fazendo a mudança de coordenadas $s = xy$, $t = x$, temos

$$s^2 + s(J't + I) = -E't^3 - H't^2 - C't.$$

Fazendo agora $x = t$, $y = s + \frac{J't + I}{2}$,

$$y^2 = \bar{a}x^3 + \bar{b}x^2 + \bar{c}x + \bar{d},$$

onde \bar{a} , \bar{b} , \bar{c} e \bar{d} dependem de C' , E' , H' , I' e J' . Ao fazer a mudança $x = \bar{a}t$, $y = \bar{a}^2s$, obtemos um polinômio mônico de grau 3 à direita da equação:

$$s^2 = t^3 + \alpha t^2 + \beta t + \gamma.$$

A mudança $t = x - \alpha/3$, $y = s$ nos dá uma equação que descreve o modelo afim de uma cúbica projetiva cuja equação é como em (3.1). Como todas as mudanças de coordenadas na demonstração são birracionais, a proposição está provada.

Se o ponto racional inicial é ponto de inflexão da curva, então teremos que A , D e F são nulos. Escolhendo a reta $y = 0$ como aquela tangente à cúbica no ponto $[0 : 0 : 1]$ e reta $X = 0$ como uma reta qualquer contendo $[0 : 0 : 1]$, obtemos uma cubica projetiva cuja equação é análoga àquela em (3.4). Demonstramos então o resultado fazendo mudanças de coordenadas análogas. \square

Na figura a seguir, temos o modelo afim do conjunto de pontos reais de curvas elípticas definidas sobre os racionais, obtido a partir da desomogeinização em relação a variável Z .

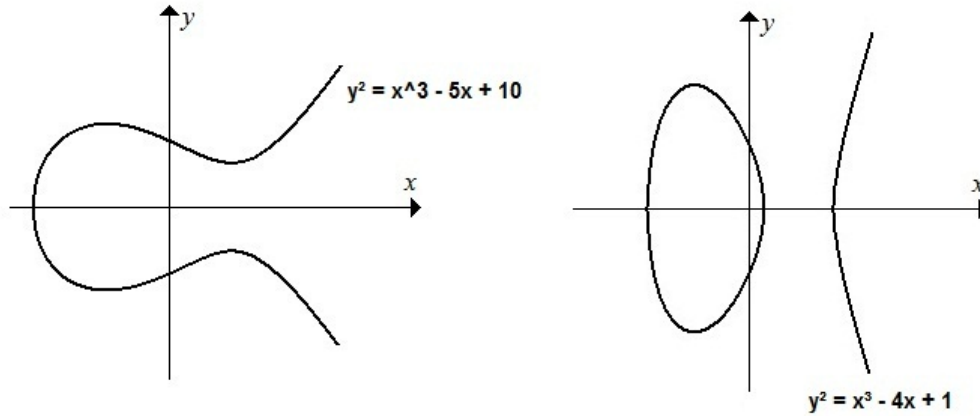


Figura 3.1: Modelo Afim de Curvas Elípticas

3.2 A Estrutura de Grupo

Seja $E : Y^2 = X^3 + aXZ^2 + bZ^3$ uma curva elíptica definida sobre um corpo \mathbb{K} e seja $\mathbb{F} \supseteq \mathbb{K}$ uma extensão de \mathbb{K} , $E(\mathbb{F})$ denotará

$$E(\mathbb{F}) = \{[x : y : z] \in \mathbb{P}^2(\mathbb{F}); y^2 = x^3 + axz^2 + bz^3\} = \{(x, y) \in \mathbb{F}^2; y^2 = x^3 + ax + b\} \cup \{\mathcal{O}\}.$$

Mostraremos que este conjunto é um grupo comutativo munido da seguinte operação: dados dois pontos P, Q em $E(\mathbb{F})$, denotaremos por $P * Q$ o terceiro ponto na interseção da reta passando por P e Q e a curva E , que está bem definido pelo Teorema de Bezout. Se $P = Q$, consideramos a reta tangente à curva neste ponto. Definimos a soma entre P e Q por $P + Q = \mathcal{O} * (P * Q)$. Note que $\mathcal{O} * (P * Q)$ resulta em simplesmente a reflexão de $P * Q$ através do eixo x ; de fato, se $P = (a, b)$ é um ponto qualquer da curva elíptica, a reta projetiva passando por P e \mathcal{O} possui equação $X - aZ = 0$, cujo modelo afim é $x = a$. Usando a equação da curva vemos que sua interseção com a curva consiste dos pontos $P = (a, b)$ e $Q = (a, -b)$.

É fácil ver que $E(\mathbb{F})$ é fechado para esta operação, pois se $P_1 = (x_1, y_1)$ e $P_2 = (x_2, y_2)$ pertencem a $E(\mathbb{F})$ e $P_3 = (x_3, y_3)$ é o terceiro ponto na interseção entre a cúbica e a reta

passando por P_1 e P_2 , temos que x_1, x_2 e x_3 são as raízes da equação cúbica obtida ao substituir a expressão da reta na equação da cúbica. Logo, como x_1, x_2 pertencem a \mathbb{F} , x_3 também pertence a \mathbb{F} .

Por construção vemos que esta operação é comutativa, e também que \mathcal{O} é o elemento neutro; além disso, dado um ponto P na curva E , seu inverso é simplesmente seu simétrico, ou seja, $P * \mathcal{O}$. Para mostrar a associatividade da operação, considere P, Q e R pontos pertencentes a E . Pelos oito pontos $\mathcal{O}, P, Q, R, P * Q, Q * R, P + Q, Q + R$ passam as cúbicas:

- E
- C_2 : produto das retas passando por $(\mathcal{O}, P * Q, P + Q)$, $(R, Q, Q * R)$ e $(P, Q + R, P * (Q + R))$
- C_3 : produto das retas passando por $(\mathcal{O}, Q * R, Q + R)$, $(P * Q, Q, P)$ e $(P + Q, R, (P + Q) * R)$.

Temos assim que a cúbica C_3 contém oito dos nove pontos na interseção entre E e C_2 , logo, pelo Teorema 2, também deve conter o nono: $P * (Q + R)$. Segue assim que $P * (Q + R) = (P + Q) * R$, como gostaríamos.

Cabe ressaltar que a operação acima pode ser definida sobre qualquer cúbica C projetiva não singular com um ponto racional \mathcal{O} fixado de maneira a tornar $C(\mathbb{F})$ um grupo.

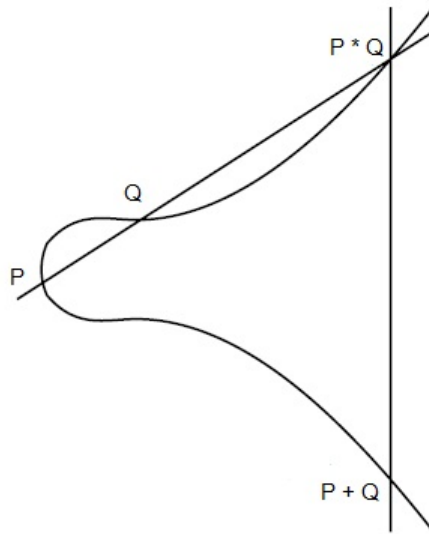


Figura 3.2: Soma de Pontos em uma Curva Elíptica

3.3 Fórmulas Explícitas para a Soma de Pontos

Sejam $E : y^2 = x^3 + ax + b$ uma curva elíptica e $P_1 = (x_1, y_1)$ e $P_2 = (x_2, y_2)$ em $E(\mathbb{F})$. Obteremos fórmulas explícitas para as coordenadas de $P_3 = P_1 + P_2 = (x_3, y_3)$, que serão amplamente usadas na teoria que segue.

Considere $P_1 \neq P_2$; podemos supor que $x_1 \neq x_2$, uma vez que se $x_1 = x_2$ temos simplesmente $P_3 = \mathcal{O}$. Neste caso, a reta definida por P_1 e P_2 é da forma $y = \lambda x + \nu$, onde $\lambda = \frac{y_2 - y_1}{x_2 - x_1}$ e $\nu \in \mathbb{F}$.

Sabemos, pelo Teorema de Bezout, que esta reta intersecta a curva elíptica em três pontos, cujas coordenadas x obtemos substituindo na equação da curva a equação da reta:

$$(\lambda x + \nu)^2 = x^3 + ax + b \iff x^3 + (-\lambda^2)x^2 + (a - 2\lambda\nu)x + (b - \nu^2) = (x - x_1)(x - x_2)(x - x_3)$$

Comparando os coeficientes dos termos quadráticos temos que:

$$x_1 + x_2 + x_3 = \lambda^2 \iff x_3 = \lambda^2 - x_1 - x_2, \quad \lambda = \frac{y_2 - y_1}{x_2 - x_1}, \quad (3.5)$$

e então obtemos $y_3 = -(\lambda x_3 + \nu)$.

Se $P_1 = P_2 = (x, y)$, o coeficiente angular da reta tangente à curva em P_1 é dado por derivação implícita. Denotando $f(x) = x^3 + ax + b$,

$$2y \frac{dy}{dx} = f'(x) \implies \lambda = \frac{dy}{dx}(x, y) = \frac{f'(x)}{2y}.$$

Temos analogamente que:

$$2x + x_3 = \lambda^2 = \frac{f'(x)^2}{(2y)^2}.$$

Obtemos assim uma fórmula para a coordenada x de 2P: usando $f'(x) = 3x^2 + a$ e $y^2 = x^3 + ax + b$ na equação acima obtemos

$$x_3 = \frac{x^4 - 2ax^2 - 8bx + a^2}{4x^3 + 4ax + 4b} \quad (3.6)$$

Vejamos agora outras fórmulas para a soma de pontos em $E(\mathbb{F})$, que serão usadas na demonstração do Teorema Fraco de Mordell. Sejam $P_1 = (x_1, y_1)$ e $P_2 = (x_2, y_2)$ em $E(\mathbb{F})$, $P_1 \neq \pm P_2$ e $P_1 + P_2 = P_3 = (x_3, y_3)$. A reta passando por P_1 e P_2 é definida pela equação:

$$y = y_1 + \frac{y_2 - y_1}{x_2 - x_1}(x - x_1),$$

cuja interseção com a curva é dada por

$$\left(y_1 + \frac{y_2 - y_1}{x_2 - x_1}(x - x_1) \right)^2 = x^3 + ax + b.$$

Seja α uma raiz de $f(x) = x^3 + ax + b$. Definimos $x = X + \alpha$, $x_j = X_j + \alpha$, $j = 1, 2, 3$. Nas novas coordenadas, a equação acima assume a forma

$$\left(y_1 + \frac{y_2 - y_1}{x_2 - x_1}(X - X_1) \right)^2 = X^3 + C_2 X^2 + C_1 X, \quad (3.7)$$

onde não há monômio de grau zero à direita pois $f(\alpha) = 0$. Reescrevendo (3.7), temos

$$-X^3 + \overline{C}_2 X^2 + \overline{C}_1 X + \left(y_1 - \frac{y_2 - y_1}{x_2 - x_1} X_1 \right)^2 = 0.$$

Como as raízes de (3.7) são $X = x_j - \alpha$, $j = 1, 2, 3$, segue que

$$(x_1 - \alpha)(x_2 - \alpha)(x_3 - \alpha) = \left(y_1 - \frac{y_2 - y_1}{x_2 - x_1}(x_1 - \alpha) \right)^2,$$

ou seja,

$$x_3 - \alpha = \frac{1}{(x_1 - \alpha)(x_2 - \alpha)} \left(\frac{y_1(x_2 - \alpha) - y_2(x_1 - \alpha)}{x_2 - x_1} \right)^2. \quad (3.8)$$

Para obtermos uma fórmula análoga para a duplicação de um ponto, se $P = (x, y)$ é um ponto de $E(\mathbb{F})$, $y \neq 0$, usamos o mesmo raciocínio alterando apenas o coeficiente angular da reta, que agora é dada por derivação implícita:

$$\frac{dy}{dx} = \frac{3x^2 + a}{2y},$$

e então

$$(x_3 - \alpha)(x - \alpha)(x - \alpha) = \left(y - \frac{3x^2 + a}{2y} \right)^2,$$

logo

$$x_3 - \alpha = \frac{1}{(x - \alpha)^2} \left(\frac{2y^2 - (3x^2 + a)(x - \alpha)}{2y} \right)^2. \quad (3.9)$$

Capítulo 4

Pontos de Torção

Estudaremos, nos próximos capítulos que se segue, curvas elípticas definidas sobre o corpo dos racionais. Neste capítulo faremos um estudo dos pontos de ordem finita de $E(\mathbb{C})$. Primeiramente descreveremos os pontos de ordem dois e três, e então demonstraremos o Teorema de Nagell-Lutz, que afirma que os pontos de ordem finita possuem coordenadas inteiras e formam um subgrupo finito de $E(\mathbb{Q})$, dito o subgrupo de torção da curva. Denotaremos o subgrupo de torção de $E(\mathbb{Q})$ por $E(\mathbb{Q})_{tor}$.

4.1 Pontos de Ordem Dois e Três

Iniciaremos o estudo dos pontos de ordem finita por aqueles de ordem dois ou três. Se P é um ponto qualquer do plano (x, y) , denotaremos suas coordenadas por $x(P)$ e $y(P)$.

Proposição 9. *Seja $E : y^2 = x^3 + ax + b$ uma curva elíptica e $o(P)$ a ordem do ponto P como elemento do grupo $E(\mathbb{C})$.*

(a) *O conjunto de pontos $E(\mathbb{C})_2 = \{P \in E(\mathbb{C}) ; o(P) \mid 2\}$ é um subgrupo de $E(\mathbb{C})$ de ordem*

quatro, produto direto de dois grupos cíclicos de ordem dois. Mais ainda, $\mathcal{O} \neq P \in E(\mathbb{C})$ tem ordem dois se, e somente se, $P = (x, 0)$, $x \in \mathbb{C}$.

(b) O conjunto de pontos $E(\mathbb{C})_3 = \{P \in E(\mathbb{C}); o(P) \mid 3\}$ é um subgrupo de $E(\mathbb{C})$ de ordem nove, produto direto de dois grupos cíclicos de ordem três. Mais ainda, $\mathcal{O} \neq P = (x, y) \in E(\mathbb{C})$ tem ordem três se, e somente se, x é raiz de $\psi_3(x) = 3x^4 + 6ax^2 + 12bx - a^2$.

Demonstração. Seja $P = (x, y) \neq \mathcal{O}$, um ponto em $E(\mathbb{C})$. Sabemos que $2P = \mathcal{O}$ se e somente se $(x, y) = P = -P = (x, -y)$, i.e., se $y = 0$. Assim, para as soluções de $0 = x^3 + ax + b$ obtemos três pontos distintos de ordem dois, uma vez que a curva é não singular. O conjunto formado por estes três pontos e o ponto \mathcal{O} é exatamente $E(\mathbb{C})_2$, subgrupo de $E(\mathbb{C})$ pois este é abeliano. O item (a) segue do fato que, a menos de isomorfismo, existe um único grupo de ordem quatro onde todos os elementos, exceto o neutro, têm ordem dois.

Temos que um ponto $P \neq \mathcal{O}$ tem ordem três se, e somente se $x(2P) = x(P)$. De fato, se $x(2P) = x(P) = x(-P)$, então $2P = \pm P$. Como $2P = P$ se e somente se $P = \mathcal{O}$, temos que $2P = -P$, ou seja, $3P = \mathcal{O}$ e segue daí que $o(P) = 3$. A recíproca é imediata.

Das fórmulas explícitas para a soma de pontos temos que, se $f(x) = x^3 + ax + b$,

$$x(2P) = \lambda^2 - 2x, \quad \lambda = \frac{f'(x)}{2y}.$$

Então, se $x(2P) = x(P)$,

$$\frac{f'(x)^2}{4f(x)} - 2x = x \iff 2f(x)(6x) - f'(x)^2 = 0.$$

Note que $2f(x)(6x) - f'(x)^2 = 3x^4 + 6ax^2 + 12bx - a^2 = \psi_3(x)$ e, lembrando que $f''(x) = 6x$, obtemos uma nova expressão para $\psi_3(x)$:

$$\psi_3(x) = 2f(x)f''(x) - f'(x)^2 = 0.$$

Observando que $\psi_3'(x) = 2f(x)f'''(x) = 12f(x)$, temos que ψ_3 tem uma raiz dupla x se e somente se

$$12f(x) = 0 \text{ e } 2f(x)f''(x) - f'(x)^2 = 0,$$

e daí teríamos que $f(x) = f'(x) = 0$, impossível. Temos então que ψ_3 possui quatro raízes complexas distintas, que serão denotadas por $\beta_j, j = 1, 2, 3, 4$. Escrevendo $\delta_j = \sqrt{f(\beta_j)}$ temos que

$$E(\mathbb{C})_3 = \{\mathcal{O}, (\beta_1, \pm\delta_1), (\beta_2, \pm\delta_2), (\beta_3, \pm\delta_3), (\beta_4, \pm\delta_4)\}.$$

Temos, de fato, nove pontos distintos neste conjunto, pois se $\delta_j = 0$ para algum $1 \leq j \leq 4$ teríamos que a ordem do ponto (β_j, δ_j) seria 2, impossível. Portanto o subgrupo $E(\mathbb{C})$ consiste exatamente de oito pontos de ordem três e o ponto \mathcal{O} . Como existe apenas um grupo abeliano de ordem 9 onde todos os elementos têm ordem dividindo 3, segue que tal subgrupo de $E(\mathbb{C})$ é produto direto de dois grupos cíclicos de ordem três. \square

Geometricamente, podemos descrever os pontos de ordem três como os pontos de inflexão da nossa curva. De fato,

$$\frac{dy}{dx} = \frac{f'(x)}{2y} \implies \frac{d^2y}{dx^2} = \left(2yf''(x) - \frac{f'(x)}{y}f'(x) \right) \left(\frac{1}{4y^2} \right),$$

logo

$$\frac{d^2y}{dx^2} = \frac{2f(x)f''(x) - f'(x)^2}{4y^3} = \frac{\psi_3(x)}{4y^3}.$$

Portanto, pela Proposição 9, um ponto P na curva é ponto de inflexão se e somente se P é ponto de ordem três.

4.2 O Teorema de Nagell-Lutz

Um importante teorema na teoria de curvas elípticas é o Teorema de Nagell-Lutz que, além de afirmar que o subgrupo de torção do grupo de pontos racionais é finito, fornece uma

lista de candidatos a tais pontos. Este teorema foi publicado separadamente por Trygve Nagell e Élisabeth Lutz na década de 30 e a demonstração apresentada aqui é baseada no texto encontrado em [3].

Primeiramente apresentamos uma série de definições e lemas que são necessários para a demonstração deste resultado.

A partir de agora, até o final desta seção, p é um número primo fixado.

Definição 11. *Seja x um número racional não nulo. Temos que x pode ser escrito na forma $x = p^l \frac{m}{n}$ de maneira única, onde $m, l \in \mathbb{Z}$, $n \in \mathbb{N}^*$ e $\text{mdc}(m, p) = \text{mdc}(n, p) = 1$. A avaliação p -ádica de x em p é definida por $\text{ord}(x) = l$.*

Mostraremos que, se $P = (x_0, y_0)$ é um ponto de torção na curva elíptica, então $\text{ord}(x_0) \geq 0$ e $\text{ord}(y_0) \geq 0$, ou seja, que P possui coordenadas inteiras.

A partir de agora, sempre que escrevermos um número racional x na forma $x = p^l \frac{m}{n}$, está implícito que $m, l \in \mathbb{Z}$, $n \in \mathbb{N}^*$ e $\text{mdc}(m, p) = \text{mdc}(n, p) = 1$.

Seja (x, y) um ponto na curva elíptica tal que p divide o denominador de x , digamos $x = \frac{m}{p^\mu n}$, $y = \frac{u}{p^\sigma w}$ onde $\mu > 0$, $\sigma \in \mathbb{Z}$. Da equação da curva temos que

$$\frac{u^2}{p^{2\sigma} w^2} = \frac{m^3 + amn^2 p^{2\mu} + bn^3 p^{3\mu}}{n^3 p^{3\mu}}.$$

Como o numerador à direita na igualdade acima não é divisível por p , temos que

$$-2\sigma = \text{ord}\left(\frac{u^2}{p^{2\sigma} w^2}\right) = \text{ord}\left(\frac{m^3 + amn^2 p^{2\mu} + bn^3 p^{3\mu}}{n^3 p^{3\mu}}\right) = -3\mu.$$

Mas $\mu > 0$ implica em $\sigma > 0$, i.e., p divide o denominador de y . Mais ainda, de $2\sigma = 3\mu$ temos que $\mu = 2\nu$ e $\sigma = 3\nu$ para algum $\nu > 0$ inteiro. Obtemos analogamente os mesmos resultados supondo que p divide o denominador de y : com a mesma notação, teremos que $\mu = 2\nu$ e $\sigma = 3\nu$, para algum $\nu > 0$ inteiro. Definindo, para cada $\nu \in \mathbb{N}$, o conjunto

$$E(p^\nu) = \{(x, y) \in E(\mathbb{Q}); \text{ord}(x) \leq -2\nu \text{ e } \text{ord}(y) \leq -3\nu\},$$

o argumento acima mostra que

$$P = (x, y) \in E(\mathbb{Q}), \text{ ord}(x) < 0 \text{ ou } \text{ord}(y) < 0 \implies P \in E(p^\nu), \nu \geq 1. \quad (4.1)$$

Incluiremos por convenção o elemento \mathcal{O} em cada $E(p^\nu)$.

Note que $E(\mathbb{Q}) \supseteq E(p) \supseteq E(p^2) \supseteq \dots$. Para mostrar que todo ponto $P = (x, y) \in E(\mathbb{Q})_{\text{tor}}$ tem coordenadas inteiras, é suficiente provar que $E(p)$ não contém nenhum ponto de torção. Para este fim faremos a seguinte mudança de coordenadas:

$$t = \frac{x}{y}, s = \frac{1}{y}. \quad (4.2)$$

Nossa curva assumirá nas novas coordenadas a forma de uma curva elíptica

$$s = t^3 + ats^2 + bs^3, \quad (4.3)$$

onde o ponto no infinito corresponde à origem. Note que, excetuando os pontos de ordem dois ($y = 0$) e o ponto \mathcal{O} da curva original, temos uma bijeção entre os pontos do plano (x, y) e aqueles do plano (t, s) . Definimos $E'(\mathbb{Q})$ como o grupo de pontos racionais da curva no plano (t, s) .

Veja agora que existe uma correspondência entre as retas destes planos: dada uma reta $y = \lambda x + \nu$ no plano (x, y) , $\nu \neq 0$, de (4.2) temos no novo plano

$$\frac{1}{s} = \lambda \frac{t}{s} + \nu \iff \lambda t + \nu s = 1. \quad (4.4)$$

As retas passando pela origem no plano (x, y) correspondem àquelas verticais no plano (t, s) .

Considere o anel $R = \left\{ \frac{m}{n} \in \mathbb{Q}; p \nmid n \right\} = \{x \in \mathbb{Q}; \text{ord}(x) \geq 0\}$; o lema a seguir caracteriza os pontos racionais da curva nas novas coordenadas.

Lema 3. *Sejam $(x, y) \in E(\mathbb{Q})$ e $(t, s) = (x/y, 1/y)$. Então (x, y) pertence a $E(p^\nu)$ se, e somente se, $(t, s) \in E'(p^\nu) = \{(t, s) \in E'(\mathbb{Q}); t \in p^\nu R \text{ e } s \in p^{3\nu} R\}$.*

Demonstração. De fato, se $(x, y) \in E(p^\nu)$, então

$$x = \frac{m}{p^{2(\nu+l)}n}, y = \frac{u}{p^{3(\nu+l)}w}, l \geq 0.$$

Logo

$$t = \frac{x}{y} = \frac{mw}{nu}p^{\nu+l}, s = \frac{1}{y} = \frac{w}{u}p^{3(\nu+l)}.$$

Reciprocamente, se $t \in p^\nu R$ e $s \in p^{3\nu} R$ então,

$$t = p^{\nu+i}\frac{a}{b}, s = p^{3\nu+j}\frac{m}{n}, \text{ com } i, j \geq 0,$$

logo

$$y = \frac{1}{s} = \frac{n}{p^{3\nu+j}m}, x = \frac{t}{s} = \frac{an}{p^{(2\nu+j-i)bm}}.$$

Portanto, se $(t, s) \in E'(\mathbb{Q})$, então (x, y) é um ponto da curva cujos denominadores de suas coordenadas são divisíveis por p , logo

$$y = \frac{n}{p^{3(\nu+l)}m}, x = \frac{an}{p^{2(\nu+l)bm}}, l \geq 0,$$

como gostaríamos. □

Agora que temos uma caracterização dos pontos de $E(p^\nu)$, encontraremos uma fórmula para a soma de pontos da curva elíptica no plano (t, s) .

Lema 4. *Sejam $P_j = (t_j, s_j) \in E'(p^\nu)$, $j = 1, 2$, e $P_3 = P_1 + P_2 = (t_3, s_3)$. Então existem inteiros k, m tais que*

$$t_1 + t_2 - t_3 = -\frac{2amk + 3bm^2k}{1 + am^2 + bm^3}.$$

Demonstração. Vejamos primeiramente que não podemos ter $t_1 = t_2$ se $P_1 \neq P_2$; de fato, se $t_1 = t_2$ e $x_j = t_j/s_j$ e $y_j = 1/s_j$, $j = 1, 2$,

$$\frac{x_1}{y_1} = \frac{x_2}{y_2} \implies x_1^2 y_2^2 = x_2^2 y_1^2$$

logo, pela equação da curva,

$$x_1^2(x_2^3 + ax_2 + b) = x_2^2(x_1^3 + ax_1 + b) \iff x_1^2x_2^2(x_2 - x_1) = ax_1x_2(x_2 - x_1) + b(x_2^2 - x_1^2).$$

Temos que $x_2 - x_1 \neq 0$ pois $P_2 \neq P_1$, logo

$$x_1^2x_2^2 = ax_1x_2 + b(x_2 + x_1).$$

Pelo Lema 3, temos que $(x, y) \in E(p^\nu)$. Escrevendo $x_1 = \frac{m_1}{p^{2\nu}n_1}$ e $x_2 = \frac{m_2}{p^{3\nu}n_2}$, $\nu \geq 1$, e reduzindo os termos acima ao mesmo denominador obtemos

$$m_1^2m_2^2 = am_1m_2n_1n_2p^{5\nu} + b(m_1n_1n_2^2p^{8\nu} + m_2n_1^2n_2p^{7\nu}),$$

mas isto é impossível, pois o lado direito da equação é divisível por p enquanto o lado esquerdo não é.

Temos então que $t_1 \neq t_2$. Seja $s = mt + k$ a reta passando por P_1 e P_2 , onde $m = \frac{s_2 - s_1}{t_2 - t_1}$. Expressaremos m de outra maneira: como (t_j, s_j) satisfazem a equação (4.3) para $j = 1, 2$, subtraindo as equações temos

$$s_2 - s_1 = (t_2^3 - t_1^3) + a[(t_2 - t_1)s_2^2 + t_1(s_2^2 - s_1^2)] + b(s_2^3 - s_1^3).$$

Dividindo a equação por $t_2 - t_1$ e isolando o termo $\frac{s_2 - s_1}{t_2 - t_1}$ obtemos outra expressão para m :

$$m = \frac{s_2 - s_1}{t_2 - t_1} = \frac{t_2^2 + t_1t_2 + t_1^2 + as_2^2}{1 - at_1(s_2 + s_1) - b(s_2^2 + s_1s_2 + s_1^2)} \quad (4.5)$$

Para $P_1 = P_2$, m é dado por derivação implícita:

$$m = \frac{ds}{dt}(P_1) = \frac{3t_1^2 + as_1^2}{1 - 2at_1s_1 - 3bs_1^2}.$$

Note que essa expressão é exatamente igual a (4.5) quando $(t_1, s_1) = (t_2, s_2)$, portanto usaremos (4.5) em todos os casos.

Sabemos de (4.3) que $P'_3 = (-t_3, -s_3)$ é o terceiro ponto de interseção da reta $s = mt + k$ com a curva no plano (t,s) e $t_1, t_2, -t_3$ são as soluções de

$$mt + k = t^3 + at(mt + k)^2 + b(mt + k)^3 \iff 0 = (1 + am^2 + bm^3)t^3 + (2amk + 3bm^2k)t^2 + \dots,$$

logo

$$(1 + am^2 + bm^3)t^3 + (2amk + 3bm^2k)t^2 + \dots = (1 + am^2 + bm^3)(t - t_1)(t - t_2)(t + t_3)$$

Desse modo

$$t_1 + t_2 - t_3 = -\frac{2amk + 3bm^2k}{1 + am^2 + bm^3}, \quad (4.6)$$

como gostaríamos. \square

Encontramos desta maneira fórmulas para a soma de pontos de $E'(p^\nu)$: após encontrar a coordenada t de P_3 usando a equação acima, basta tomar a interseção da reta $s = mt + k$ com a curva elíptica para encontrar o valor de s_3 .

Proposição 10. $E'(p^\nu)$ é um subgrupo de $E'(\mathbb{Q})$, $\forall \nu \in \mathbb{N}$.

Demonstração. De acordo com a notação do Lema 4, se $t_1, t_2, s_1, s_2 \in p^\nu R$, o numerador de (4.5) está em $p^{2\nu} R$. Pelo mesmo argumento temos que

$$-at_1(s_2 + s_1) - b(s_2^2 + s_1s_2 + s_1^2) = p^{2\nu} \frac{u}{w},$$

logo

$$1 - at_1(s_2 + s_1) - b(s_2^2 + s_1s_2 + s_1^2) = \frac{w + p^{2\nu}u}{w}.$$

Segue então que o denominador de (4.5) tem ordem 0, e portanto $m \in p^{2\nu} R$. Da equação $k = s_1 - mt_1$ temos que $k \in p^{3\nu} R$, já que s_1 e mt_1 estão neste mesmo ideal. Como o denominador de (4.6) é uma unidade em R , $t_1 + t_2 - t_3 \in p^{5\nu} R \subseteq p^\nu R$, logo $t_3 \in p^\nu R$ uma vez que t_1, t_2 também pertencem a este ideal. Finalmente, vemos que $s_3 \in p^{3\nu} R$ pois $s_3 = mt_3 + k$, e assim segue pelo Lema 1 que $E'(p^\nu)$ é fechado para a soma.

Para concluir que $E'(p^\nu)$ é um subgrupo de $E'(\mathbb{Q})$, observe que se $P = (t, s) \in E'(p^\nu)$ então $-P = (-t, -s) \in E'(p^\nu)$. \square

Vejam agora que esta mudança de coordenadas é essencialmente um isomorfismo de grupos entre $E(\mathbb{Q})$ e $E'(\mathbb{Q})$.

Proposição 11. *A aplicação*

$$\phi : \frac{E(\mathbb{Q})}{E(\mathbb{Q})_2} \longrightarrow E'(\mathbb{Q})$$

$$P + E(\mathbb{Q})_2 \longmapsto \begin{cases} \psi(P), & \text{se } P \neq \mathcal{O} \\ (0, 0), & \text{se } P = \mathcal{O} \end{cases}$$

é um isomorfismo de grupos, onde ψ denota a mudança de coordenadas (4.2).

Demonstração. Mostraremos primeiramente que ψ é aditiva em $E(\mathbb{Q}) \setminus E(\mathbb{Q})_2$; este fato será necessário para mostrar que a aplicação ϕ está bem definida.

Sejam P_1 e P_2 pontos de $E(\mathbb{Q})$, $P_1, P_2 \notin E(\mathbb{Q})_2$. Sabemos de (4.4) que a mudança de coordenadas (4.2) preserva retas, logo se P_1 e P_2 são distintos, $\psi(P_1 * P_2) = \psi(P_1) * \psi(P_2)$. Suponha agora $P_1 = P_2 = P = (x_0, y_0)$; mostraremos que a imagem da reta tangente à curva em P é a reta tangente à curva em $\psi(P)$.

Considere $Q = (x, y) \neq P$ e $\lambda(Q)$ o coeficiente angular da reta passando por P e Q , cuja equação é da forma $L_{PQ} : y = \lambda(Q)x + \nu(Q)$. Denotaremos por $y = \lambda(P)x + \nu(P)$ a reta tangente à curva em P . Se $\nu(P) \neq 0$, como $Q \longmapsto \nu(Q) = y_0 - \lambda(Q)x_0$ é uma aplicação contínua, temos uma vizinhança V do ponto P tal que $\nu(Q) \neq 0, \forall Q \in V$. Usando (4.4), a imagem da reta L_{PQ} pode ser escrita como

$$L_{\psi(P)\psi(Q)} : 1 = \lambda(Q)t + \nu(Q)s \iff s = -\frac{\lambda(Q)}{\nu(Q)}t + \frac{1}{\nu(Q)}.$$

Note que

$$\begin{aligned} \varphi : \mathbb{R} &\longrightarrow \mathbb{R} \\ \lambda(P_2) &\longmapsto -\frac{\lambda(P_2)}{\nu(P_2)} \end{aligned}$$

é uma aplicação contínua que associa o coeficiente angular de $L_{\psi(P_1)\psi(P_2)}$ ao coeficiente angular de $L_{P_1P_2}$.

Do resultado acima temos que $\varphi(\lambda(Q)) = \lambda(\psi(Q))$, $\forall Q \in V$, logo $\varphi(\lambda(P)) = \lambda(\psi(P))$ segue por continuidade, como queríamos demonstrar. O caso $\nu(P) = 0$ é tratado analogamente.

Segue daí que, se P_1 e P_2 são pontos de $E(\mathbb{Q}) \setminus E(\mathbb{Q})_2$, $\psi(P_1 * P_2) = \psi(P_1) * \psi(P_2)$, e então $\psi(P_1 + P_2) = \psi(P_1) + \psi(P_2)$. De fato, se

$$P_j = (x_j, y_j), \psi(P_j) = (t_j, s_j), j = 1, 2 \text{ e } P_1 * P_2 = (x_3, y_3),$$

então

$$P_1 + P_2 = (x_3, -y_3) \implies \psi(P_1 + P_2) = \left(-\frac{x_3}{y_3}, -\frac{1}{y_3} \right)$$

e

$$\psi(P_1) + \psi(P_2) = (-t_3, -s_3) = \left(-\frac{x_3}{y_3}, -\frac{1}{y_3} \right),$$

mostrando que ψ é aditiva.

Para ver que a aplicação ϕ está bem definida, considere $P \in E(\mathbb{Q}) \setminus E(\mathbb{Q})_2$ e $Q \in E(\mathbb{Q})_2$. Então

$$(0, 0) = \phi(Q) = \phi((P + Q) - P) = \phi(P + Q) - \phi(P)$$

pois $P + Q$ e P são pontos de $E(\mathbb{Q}) \setminus E(\mathbb{Q})_2$. Logo $\phi(P) = \phi(P + Q)$, como gostaríamos. A aditividade de ψ sobre $E(\mathbb{Q}) \setminus E(\mathbb{Q})_2$ conclui a demonstração. \square

Seja P um ponto de torção de $E(\mathbb{Q})_{tor} \setminus E(\mathbb{Q})_2$. Segue da Proposição 11 que $\psi(P) \in E'(\mathbb{Q})_{tor}$. Se mostrarmos que não existem pontos de torção de $E'(\mathbb{Q})$ pertencentes a $E'(p)$, teremos, pelo Lema 3, que $P \notin E(p)$.

Na demonstração da Proposição 10 provamos que se $P_1, P_2 \in E'(p^\nu)$ então $t(P_1) + t(P_2) - t(P_1 + P_2) \in p^{5\nu}R$, i.e.,

$$t(P_1) + t(P_2) \equiv t(P_1 + P_2) \pmod{p^{5\nu}R} \quad (4.7)$$

Consideremos a aplicação que a cada ponto racional $P = (t, s)$ em $E'(p^\nu)$ associa a classe de sua coordenada t em $p^\nu R/p^{5\nu}R$. O núcleo dessa aplicação é o conjunto $\{P \in E'(p^\nu); t(P) \in p^{5\nu}R\} = E'(p^{5\nu})$, logo pelo Teorema de Isomorfismos temos que a aplicação

$$\begin{array}{ccc} \frac{E'(p^\nu)}{E'(p^{5\nu})} & \longrightarrow & \frac{p^\nu R}{p^{5\nu}R} \\ P & \longmapsto & t(P) \end{array}$$

é um homomorfismo injetivo. Por convenção, $\mathcal{O} \mapsto 0$. Podemos agora concluir a demonstração do Teorema de Nagell-Lutz.

Teorema 3 (Nagell-Lutz). *Sejam $y^2 = x^3 + ax + b$ uma curva elíptica com coeficientes inteiros e Δ o discriminante de $f(x) = x^3 + ax + b$. Se $P = (x_0, y_0) \in E(\mathbb{Q})$ é um ponto de torção então P tem coordenadas inteiras e, além disso, y_0^2 divide Δ .*

Demonstração. Mostraremos que nenhum ponto de torção de $E'(\mathbb{Q})$ pertence a $E'(p)$. Dessa maneira, se $P \in E(\mathbb{Q})_{tor} \setminus E(\mathbb{Q})_2$ então $\psi(P) \notin E'(p)$ e, portanto, P não pertence a $E(p)$. Note que os pontos de $E(\mathbb{Q})_2$ têm coordenadas inteiras pois toda solução racional de $0 = x^3 + ax + b$, onde $a, b \in \mathbb{Z}$, é inteira.

Sejam $P' = (t, s) \in E'(\mathbb{Q})$ um ponto de ordem finita $m > 1$ e $P = (x, y)$, onde $x = t/s$ e $y = 1/s$. Suponha que $P' \in E'(p)$. Como $P' \in E'(p)$ se e somente se $P \in E(p)$ e o denominador de $x(P)$ não pode ser divisível por potências arbitrariamente altas de p , existe $\nu > 0$ tal que $P' \in E'(p^\nu)$ e $P' \notin E'(p^{\nu+1})$.

(i) Suponha que p não divide m . De (4.7) temos que

$$t(mP') \equiv mt(P') \pmod{p^{5\nu}R},$$

mas como $mP' = \mathcal{O}$ temos que $t(mP') = 0$ e portanto

$$mt(P') \equiv 0 \pmod{p^{5\nu}R} \iff t(P') \equiv 0 \pmod{p^{5\nu}R}.$$

Segue então que $P' \in E'(p^{5\nu}) \subseteq E'(p^{\nu+1})$, impossível.

(ii) Suponha agora que $p \mid m$. Seja $m = pn$ e considere $Q' = nP'$. Como $P' \in E'(p)$, temos que $Q' \in E'(p)$ e analogamente existe $\nu > 0$ tal que $Q' \in E'(p^\nu)$ e $Q' \notin E'(p^{\nu+1})$. Então

$$t(pQ') \equiv pt(Q') \pmod{p^{5\nu}R}$$

$$0 \equiv pt(Q') \pmod{p^{5\nu}R}$$

$$t(Q') \equiv 0 \pmod{p^{5\nu-1}R},$$

mas isto significa que $Q' \in E'(p^{5\nu-1}) \subseteq E'(p^{\nu+1})$, um absurdo.

Seja $P = (x, y) \in E(\mathbb{Q})_{tor}$, $y \neq 0$; mostraremos agora que y^2 divide $\Delta = -4a^3 - 27b^2$. Se $2P = (x(2P), y(2P))$, sabemos da seção 3.3 que

$$x(2P) = \lambda^2 - 2x, \quad \lambda = \frac{f'(x)}{2y},$$

portanto devemos ter que $y \mid f'(x) = 3x^2 + a$ pois x e $x(2P)$ são números inteiros. Além disso, vale que

$$27(x^3 + ax + b)(x^3 + ax - b) = (3x^2 + a)^2(3x^2 + 4a) - (4a^3 + 27b^2),$$

logo $y^2 \mid 4a^3 + 27b^2$, pois $y^2 = x^3 + ax + b$. □

Capítulo 5

O Teorema de Mordell

Neste capítulo demonstramos o Teorema de Mordell, o qual afirma que o grupo de pontos racionais de uma curva elíptica é finitamente gerado. Este teorema foi conjecturado primeiramente por Poincaré em 1901 e demonstrado em 1922 por Louis Mordell; na mesma década, André Weil generalizou este resultado para variedades abelianas. A demonstração do Teorema de Mordell para curvas elípticas neste texto é baseada em [8] com exceção da demonstração do Teorema Fraco de Mordell, que se encontra em [1].

Começamos introduzindo as seguintes funções: dado um número racional $x = m/n$, $\text{mdc}(m, n) = 1$, definimos sua altura como

$$H(x) = \max\{|m|, |n|\} \text{ e,}$$

e frequentemente também nos referimos à seguinte função como altura:

$$h(x) = \log H(x).$$

Se $P = (x, y) \in E(\mathbb{Q})$, definimos $H(P) = H(x)$ e $h(P) = \log H(P)$. Esta função $h : E(\mathbb{Q}) \mapsto [0, +\infty)$ será crucial na demonstração do Teorema de Mordell, que segue do seguinte teorema mais geral para grupos abelianos.

Teorema 4. *Sejam Γ um grupo abeliano aditivo e $h : \Gamma \mapsto [0, +\infty)$ uma função com as seguintes propriedades:*

(a) *para cada número real $M > 0$ o conjunto $\{P \in \Gamma; h(P) \leq M\}$ é finito;*

(b) *para cada $P_0 \in \Gamma$ existe uma constante $k' = k'(P_0)$ tal que*

$$h(P + P_0) \leq 2h(P) + k', \forall P \in \Gamma;$$

(c) *existe uma constante k tal que $h(2P) \geq 4h(P) - k, \forall P \in \Gamma$;*

(d) *o subgrupo 2Γ tem índice finito em Γ .*

Então o grupo Γ é finitamente gerado.

Demonstração. Seja $[\Gamma : 2\Gamma] = n$ e considere Q_1, \dots, Q_n em $\Gamma/2\Gamma$, $Q_i \neq Q_j$ se $i \neq j$. Fixado P_0 em Γ , existe $Q_{i_1}, 1 \leq i_1 \leq n$, tal que $P_0 - Q_{i_1} = 2P_1 \in 2\Gamma$; como $P_1 \in \Gamma$, existe $Q_{i_2}, 1 \leq i_2 \leq n$, tal que $P_1 - Q_{i_2} = 2P_2 \in 2\Gamma$. Repetindo este processo obtemos uma sequência de pontos $(P_m)_{m \in \mathbb{N}}$ tal que

$$P_0 - Q_{i_1} = 2P_1$$

$$P_1 - Q_{i_2} = 2P_2$$

$$\vdots$$

$$P_m - Q_{i_{m+1}} = 2P_{m+1}$$

$$\vdots$$

onde $P_m \in \Gamma$ e $Q_{i_m} \in \{Q_1, \dots, Q_n\}$, $\forall m \in \mathbb{N}$. Vemos então que

$$P_0 = Q_{i_1} + 2Q_{i_2} + 4P_2$$

$$P_0 = Q_{i_1} + 2Q_{i_2} + 4Q_{i_3} + 8P_3$$

$$\vdots$$

$$P_0 = Q_{i_1} + 2Q_{i_2} + \dots + 2^{m-1}Q_{i_m} + 2^m P_m$$

Mostraremos agora que, para m suficientemente grande, $h(P_m) \leq K$, onde K é uma constante fixada; dessa maneira teremos que Γ é gerado pelo conjunto

$$\{Q_1, \dots, Q_n\} \cup \{P \in \Gamma; h(P) \leq K\},$$

que é um conjunto finito pelo item (a).

Seja P_j um ponto da sequência anterior. Da hipótese (b) temos que, para cada $i = 1, 2, \dots, n$, existe k'_i tal que $h(P - Q_i) \leq 2h(P) + k'_i$, $\forall P \in \Gamma$, $i = 1, \dots, n$. Definindo $k' = \max\{k'_i, i = 1, \dots, n\}$ temos $h(P - Q_i) \leq 2h(P) + k'$, $\forall P \in \Gamma$, $i = 1, \dots, n$. Portanto, usando a hipótese (c),

$$4h(P_j) \leq h(2P_j) + k = h(P_{j-1} - Q_{i_j}) + k \leq 2h(P_{j-1}) + k' + k,$$

logo

$$h(P_j) \leq \frac{1}{2}h(P_{j-1}) + \frac{k' + k}{4} = \frac{3}{4}h(P_{j-1}) - \frac{1}{4}[h(P_{j-1}) - (k' + k)],$$

de modo que se $h(P_{j-1}) \geq k' + k$ então $h(P_j) \leq \frac{3}{4}h(P_{j-1})$. Segue assim que para algum $m \in \mathbb{N}$ teremos $h(P_m) \leq k' + k$, como gostaríamos. \square

Devemos agora mostrar que o grupo de pontos racionais de uma curva elíptica satisfaz as quatro hipóteses do Teorema 2, trabalho que ocupará as próximas seções.

5.1 A Altura de Pontos Racionais

Nesta seção apresentaremos estimativas para $h(P + P_0)$, $P_0 \in E(\mathbb{Q})$ fixado, e $h(2P)$. Primeiramente vejamos que a primeira hipótese do Teorema 4 segue imediatamente da definição de altura de um ponto.

Proposição 12. *Para cada número real M o conjunto $\{P \in E(\mathbb{Q}); h(P) \leq M\}$ é finito.*

Demonstração. Basta notar que para número cada real $M > 0$ fixado existe uma quantidade finita de números racionais x tais que $H(x) \leq M$, e o mesmo vale portanto para os números racionais x tais que $h(x) \leq M$; mas para cada racional fixado x temos no máximo dois pontos $P \in E(\mathbb{Q})$ tais que $x(P) = x$. Segue daí o resultado. \square

Lembramos agora, de acordo com o argumento apresentado na seção 4.2, que se $P \in E(\mathbb{Q})$, então $P = \left(\frac{m}{e^2}, \frac{n}{e^3}\right)$, onde $m, n, e \in \mathbb{Z}$ e $\text{mdc}(m, e) = \text{mdc}(n, e) = 1$, de modo que $H(P) = \max\{|m|, e^2\}$. Usando a equação da curva obtemos uma estimativa importante:

$$P = \left(\frac{m}{e^2}, \frac{n}{e^3}\right) \in E(\mathbb{Q}) \implies \exists K > 0 \text{ tal que } |n| \leq KH(P)^{3/2}. \quad (5.1)$$

De fato,

$$\frac{n^2}{e^6} = \frac{m^3}{e^6} + a\frac{m}{e^2} + b \iff n^2 = m^3 + ame^4 + be^6,$$

logo

$$n^2 \leq |m^3| + |am|e^4 + |b|e^6 \leq H(P)^3 + |a|H(P)^3 + |b|H(P)^3 = (1 + |a| + |b|)H(P)^3,$$

e assim $|n| \leq KH(P)^{3/2}$, onde $K = \sqrt{1 + |a| + |b|}$.

Proposição 13. *Para cada $P_0 \in E(\mathbb{Q})$ existe uma constante $k' = k'(P_0)$ tal que $h(P + P_0) \leq 2h(P) + k', \forall P \in E(\mathbb{Q})$.*

Demonstração. O resultado é trivial se $P_0 = \mathcal{O}$; fixemos então $P_0 \neq \mathcal{O}$ e considere $P \in E(\mathbb{Q})$ diferente de $P_0, -P_0, \mathcal{O}$. Note que não há perda de generalidade ao excluirmos um conjunto finito de pontos, pois basta escolher uma nova constante que torne a afirmativa verdadeira para o conjunto de pontos que foi excluído.

Sejam $P_0 = (x_0, y_0)$, $P = (x, y)$, $P + P_0 = (\xi, \eta)$. Sabemos de (3.5) que $\xi + x + x_0 = \lambda^2$, onde $\lambda = \frac{y - y_0}{x - x_0}$. Segue então que

$$\xi = \frac{(y - y_0)^2 - (x + x_0)(x - x_0)^2}{(x - x_0)^2}$$

e, usando equação da curva $y^2 = x^3 + ax + b$ para o ponto $P = (x, y)$, podemos reescrever esta expressão obtendo

$$\xi = \frac{Ay + Bx^2 + Cx + D}{Ex^2 + Fx + G},$$

onde $A, B, C, D, E, F, G \in \mathbb{Q}$ são constantes que dependem somente de a, b, x_0, y_0 . Note que obtemos uma expressão equivalente para ξ com A, B, C, D, E, F e G inteiros multiplicando o numerador e o denominador acima por um inteiro adequado. Substituindo $x = \frac{m}{e^2}$ e $y = \frac{n}{e^3}$ obtemos

$$\xi = \frac{Ane + Bm^2 + Cme^2 + De^4}{Em^2 + Fme^2 + Ge^4} \in \mathbb{Q},$$

e então

$$H(\xi) = \max\{|Ane + Bm^2 + Cme^2 + De^4|, |Em^2 + Fme^2 + Ge^4|\}.$$

Como $e^2 \leq H(P)$ e vale a equação (5.1), temos que

$$H(\xi) = H(P + P_0) \leq \max\{|AK| + |B| + |C| + |D|, |E| + |F| + |G|\}H(P)^2$$

e assim

$$h(P + P_0) = \log H(P + P_0) \leq 2h(P) + k_0,$$

onde $k_0 = \log(\max\{|AK| + |B| + |C| + |D|, |E| + |F| + |G|\})$ depende apenas de a, b, x_0, y_0 , como gostaríamos. \square

Proposição 14. *Existe uma constante k tal que $h(2P) \geq 4h(P) - k$, $\forall P \in E(\mathbb{Q})$.*

Demonstração. Já vimos que podemos excluir da demonstração um conjunto finito de pontos sem perda de generalidade. Sejam então $P = (x, y) \in E(\mathbb{Q}) \setminus E(\mathbb{Q})_2$ e $2P = (\xi, \eta)$; sabemos da seção 1.3 que, se $f(x) = x^3 + ax + b$,

$$\xi + 2x = \lambda^2, \quad \lambda = \frac{f'(x)}{2y},$$

logo

$$\xi = \frac{f'(x)^2 - 8xf(x)}{4f(x)} = \frac{P_1(x)}{P_2(x)},$$

onde $P_1(x), P_2(x) \in \mathbb{Z}[x]$ e $\deg P_1(x) = 4$, $\deg P_2(x) = 3$. Note que $P_1(x)$ e $P_2(x)$ não têm raízes comuns, uma vez que a curva $y^2 = f(x)$ é não singular. A demonstração estará concluída com o seguinte lema sobre polinômios em $\mathbb{Z}[x]$. \square

Lema 5. *Sejam $\phi(x), \psi(x) \in \mathbb{Z}[x]$ polinômios primos entre si e $d = \max\{\deg \phi, \deg \psi\}$. Então*

(a) *existe um inteiro $R = R(\phi, \psi) \geq 1$ tal que $\text{mdc}\left(n^d \phi\left(\frac{m}{n}\right), n^d \psi\left(\frac{m}{n}\right)\right)$ divide $R, \forall m/n \in \mathbb{Q}$.*

(b) *existe $k = k(\phi, \psi)$ tal que para todo racional m/n que não anula ψ temos*

$$dh\left(\frac{m}{n}\right) - k \leq h\left(\frac{\phi(m/n)}{\psi(m/n)}\right).$$

Demonstração. Note primeiramente que $n^d \phi(m/n), n^d \psi(m/n) \in \mathbb{Z}$. Suponha que $\deg \phi = d$, $\deg \psi = e \leq d$,

$$\phi(x) = a_0 x^d + a_1 x^{d-1} + \dots + a_d \text{ e}$$

$$\psi(x) = b_0 x^e + b_1 x^{e-1} + \dots + b_e.$$

Fixe $m/n \in \mathbb{Q}$ e defina

$$\Phi(m, n) = n^d \phi\left(\frac{m}{n}\right) = a_0 m^d + a_1 n m^{d-1} + \dots + a_d n^d,$$

$$\Psi(m, n) = n^d \psi\left(\frac{m}{n}\right) = b_0 m^e n^{d-e} + b_1 m^{e-1} n^{d-e+1} + \dots + b_e n^d.$$

(a) Como $\text{mdc}(\phi(x), \psi(x)) = 1$ em $\mathbb{Q}[x]$, existem $F(x), G(x) \in \mathbb{Q}[x]$ tais que

$$F(x)\phi(x) + G(x)\psi(x) = 1. \tag{5.2}$$

Considere $A \in \mathbb{Z}$ tal que $AF(x), AG(x) \in \mathbb{Z}[x]$ e seja $D = \max\{\deg F(x), \deg G(x)\}$; note que A e D não dependem do racional fixado. Segue de (5.2) que

$$An^D F\left(\frac{m}{n}\right) \Phi(m, n) + An^D G\left(\frac{m}{n}\right) \Psi(m, n) = An^{d+D}.$$

Seja $\gamma = \gamma(m, n) = \text{mdc}(\Phi(m, n), \Psi(m, n))$; mostraremos que $\gamma \mid Aa_0^{d+D}$. Da equação acima vemos que $\gamma \mid An^{d+D}$ e, da sua definição, γ também divide

$$An^{d+D-1} \Phi(m, n) = Aa_0 m^d n^{d+D-1} + Aa_1 m^{d-1} n^{d+D} + \dots + Aa_d n^{2d+D-1},$$

logo $\gamma \mid Aa_0 m^d n^{d+D-1}$. Segue assim que γ divide

$$\text{mdc}(An^{d+D}, Aa_0 m^d n^{d+D-1}) = \text{mdc}(An^{d+D}, Aa_0 n^{d+D-1})$$

e portando $\gamma \mid Aa_0 n^{d+D-1}$.

Usando o mesmo argumento para $Aa_0 n^{d+D-1}$ concluímos que $\gamma \mid Aa_0^2 n^{d+D-2}$, e assim teremos que $\gamma \mid Aa_0^{d+D}$. Escolhendo $R = Aa_0^{d+D}$, temos o resultado.

(b) Novamente excluiremos um conjunto finito de elementos: considere m/n um racional que não anula ϕ .

Desejamos uma estimativa para $h(\xi)$, onde

$$\xi = \frac{\phi(m/n)}{\psi(m/n)} = \frac{n^d \phi(m/n)}{n^d \psi(m/n)} = \frac{\Phi(m, n)}{\Psi(m, n)}.$$

Mostramos no item (a) que existe $R = R(\phi, \psi)$ tal que $\text{mdc}(\Phi(m, n), \Psi(m, n))$ divide R , $\forall m/n \in \mathbb{Q}$. Logo, como $H(\xi) = \max\left\{\frac{|\Phi(m, n)|}{\text{mdc}(\Phi(m, n), \Psi(m, n))}, \frac{|\Psi(m, n)|}{\text{mdc}(\Phi(m, n), \Psi(m, n))}\right\}$,

$$H(\xi) \geq \frac{1}{R} \max\{|\Phi(m, n)|, |\Psi(m, n)|\} = \frac{1}{R} \max\{|n^d \phi(m/n)|, |n^d \psi(m/n)|\}$$

$$\implies H(\xi) \geq \frac{1}{2R} (|n^d \phi(m/n)| + |n^d \psi(m/n)|),$$

logo

$$\frac{H(\xi)}{H(m/n)^d} \geq \frac{1}{2R} \frac{(|n^d \phi(m/n)| + |n^d \psi(m/n)|)}{\max\{|m|^d, |n|^d\}} = \frac{1}{2R} \frac{(|\phi(m/n)| + |\psi(m/n)|)}{\max\{|m/n|^d, 1\}}.$$

Considere então a função $p(t) = \frac{(|\phi(t)| + |\psi(t)|)}{\max\{|t|^d, 1\}}$; note que

$$\lim_{t \rightarrow \pm\infty} p(t) = \lim_{t \rightarrow \pm\infty} \frac{q(t)}{|t|^d} \in \mathbb{R}^*$$

pois $q(t)$ é um polinômio de grau d . Segue assim que para algum $M_0 \in \mathbb{R}$ a função $p(t)$ é limitada e não nula fora do compacto $[-M_0, M_0]$. Mas $p(t)$ é uma função contínua que nunca se anula, já que $\phi(t)$ e $\psi(t)$ não tem raízes comuns; logo dentro deste compacto $p(t)$ possui um mínimo positivo C_0 . Segue então que para algum $C_1 > 0$,

$$\frac{H(\xi)}{H(m/n)^d} \geq \frac{C_1}{2R} \iff H(\xi) \geq \frac{C_1}{2R} H(m/n)^d, \forall m/n \in \mathbb{Q},$$

e então

$$\log H(\xi) \geq \log \left(\frac{C_1}{2R} H(m/n)^d \right) \iff h(\xi) \geq dh(m/n) + \log \left(\frac{C_1}{2R} \right),$$

para todo $m/n \in \mathbb{Q}$, onde C_1 e $2R$ não dependem do racional m/n fixado. \square

5.2 O Teorema Fraco de Mordell

Demonstramos agora o Teorema Fraco de Mordell, que afirma que o subgrupo $2E(\mathbb{Q})$ tem índice finito em $E(\mathbb{Q})$. Existe na verdade o seguinte resultado mais geral, que pode ser encontrado em [7].

Teorema 5 (Mordell-Weil). *Sejam \mathbb{K} um corpo de números, $E : y^2 = x^3 + ax + b$ uma curva elíptica sobre \mathbb{K} e $m \geq 2$ um inteiro. Então o índice $[E(\mathbb{K}) : mE(\mathbb{K})]$ é finito, onde $mE(\mathbb{K}) = \{mP; P \in E(\mathbb{K})\}$.*

Destinamos esta seção à demonstração da finitude do índice $[E(\mathbb{Q}) : 2E(\mathbb{Q})]$.

Considere $\beta : \mathbb{Q}^* \mapsto \mathbb{Q}^*/\mathbb{Q}^{*2}$ o homomorfismo canônico e suponha que as raízes de $f(x) = x^3 + ax + b$ são $a_1, a_2, a_3 \in \mathbb{Q}$. Caso as raízes de $f(x)$ não sejam racionais, a mesma demonstração vale para um corpo de números que as contenha.

Definimos em $E(\mathbb{Q})$, para $j = 1, 2, 3$, as funções:

$$\phi_j(P) = \begin{cases} \beta(1), & \text{se } P = \mathcal{O} \\ \prod_{i \neq j} \beta(x(P) - a_i), & \text{se } P = (a_j, 0) \\ \beta(x(P) - a_j), & \text{caso contrário.} \end{cases} \quad (5.3)$$

Note que se $x_0 \neq a_i$, $i = 1, 2, 3$ então $\prod_{i=1}^3 \beta(x_0 - a_i) = \beta(y_0)^2 = 1$, logo $\prod_{i \neq j} \beta(x_0 - a_i) = \beta(x_0 - a_j)$. Definimos ainda

$$\phi : E(\mathbb{Q}) \mapsto \mathbb{Q}^* \times \mathbb{Q}^* \times \mathbb{Q}^*$$

$$P \mapsto (\phi_1(P), \phi_2(P), \phi_3(P))$$

Usando as fórmulas para soma (3.8) e (3.9), é fácil ver que esta aplicação é um homomorfismo. Mostraremos agora que o núcleo deste homomorfismo é exatamente $2E(\mathbb{Q})$ e sua imagem é finita; o Teorema dos Isomorfismos para grupos concluirá a demonstração do Teorema Fraco de Mordell.

Lema 6. *O conjunto $\phi(E(\mathbb{Q}))$ é finito.*

Demonstração. Seja $P = \left(\frac{m}{e^2}, \frac{n}{e^3}\right) \in E(\mathbb{Q})$, $P \notin \{\mathcal{O}, (a_1, 0), (a_2, 0), (a_3, 0)\}$; da equação da curva temos que:

$$n^2 = (m - a_1 e^2)(m - a_2 e^2)(m - a_3 e^2). \quad (5.4)$$

Seja d um divisor comum de $m - a_i e^2$ e $m - a_j e^2$, $i \neq j$, então d divide $(m - a_j e^2) - (m - a_i e^2) = (a_i - a_j)e^2$, mas como $\text{mdc}(m, e) = 1$ temos que $\text{mdc}(d, e) = 1$. Segue que d divide $(a_i - a_j)$.

Seja p um primo. Se p é um fator primo na fatoração de apenas um dos $m - a_j e^2$, $j = 1, 2, 3$, então de (5.4) temos que o expoente deste primo é par; se p é fator de mais de um dos $m - a_j e^2$, $j = 1, 2, 3$, então $p \mid M = \prod_{i \neq j} (a_i - a_j)$. Segue que para $j = 1, 2, 3$, $m - a_j e^2 = \mu_j \eta_j^2$, μ_j um divisor de M ; logo

$$\beta(x(P) - a_j) = \beta\left(\frac{m}{e^2} - a_j\right) = \beta\left(\frac{1}{e^2}\right) \beta(\mu_j) \beta(\eta_j^2) = \beta(\mu_j).$$

Portanto cada um dos homomorfismos ϕ_j tem imagem finita, e segue o resultado. \square

Lema 7. *Com a mesma notação, $\ker(\phi) = 2E(\mathbb{Q})$.*

Demonstração. Se $P = (x, y) \in E(\mathbb{Q})$, $y \neq 0$, então de (3.9) temos que $x(2P) - a_j$, $j = 1, 2, 3$, é um quadrado e portanto $P \in \ker \phi$. Se $y = 0$ então $2P = \mathcal{O}$ e $P \in \ker \phi$. Por outro lado, seja $P \in \ker \phi$; desejamos encontrar $Q \in E(\mathbb{Q})$ tal que $P = 2Q$.

Note que, se $P \in \ker \phi$ então para $j = 1, 2, 3$ temos que $x(P) - a_j = \alpha_j^2$, para algum $\alpha_j \in \mathbb{Q}$; considere então o sistema de equações nas variáveis u_1, u_2, u_3

$$u_1 + a_j u_2 + a_j^2 u_3 = \alpha_j, \quad j = 1, 2, 3, \quad (5.5)$$

ou ainda, na forma matricial,

$$\begin{pmatrix} 1 & a_1 & a_1^2 \\ 1 & a_2 & a_2^2 \\ 1 & a_3 & a_3^2 \end{pmatrix} \begin{pmatrix} u_1 \\ u_2 \\ u_3 \end{pmatrix} = \begin{pmatrix} \alpha_1 \\ \alpha_2 \\ \alpha_3 \end{pmatrix}$$

Temos uma única solução para este sistema uma vez que

$$\begin{vmatrix} 1 & a_1 & a_1^2 \\ 1 & a_2 & a_2^2 \\ 1 & a_3 & a_3^2 \end{vmatrix} = \prod_{i>j} (a_i - a_j) \neq 0,$$

pois a curva é não singular. Usando agora (5.5) e a equação da curva obtemos

$$\begin{aligned} x(P) - a_j &= \alpha_j^2 = (u_1 + a_j u_2 + a_j^2 u_3)^2 = \\ &= u_1^2 - 2u_2 u_3 b + 2u_1 u_2 a_j - 2u_2 u_3 a a_j - b u_3^2 a_j + u_2^2 a_j^2 + 2u_1 u_3 a_j^2 - a u_3^2 a_j^2, \end{aligned}$$

logo,

$$(u_1^2 - 2u_2 u_3 b - x(P))1 + (2u_1 u_2 - 2u_2 u_3 a - b u_3^2 + 1)a_j + (u_2^2 + 2u_1 u_3 - a u_3^2)a_j^2 = 0, \quad j = 1, 2, 3.$$

Então

$$(u_1^2 - 2u_2u_3b - x(P)) \begin{pmatrix} 1 \\ 1 \\ 1 \end{pmatrix} + (2u_1u_2 - 2u_2u_3a - bu_3^2 + 1) \begin{pmatrix} a_1 \\ a_2 \\ a_3 \end{pmatrix} + (u_2^2 + 2u_1u_3 - au_3^2) \begin{pmatrix} a_1^2 \\ a_2^2 \\ a_3^2 \end{pmatrix} = 0.$$

Mas estes vetores são linearmente independentes, logo esta combinação linear deve ter coeficientes nulos. Segue que

$$u_1^2 - 2u_2u_3b = x(P) \quad (5.6)$$

$$2u_1u_2 - 2u_2u_3a - bu_3^2 = -1 \quad (5.7)$$

$$u_2^2 + 2u_1u_3 + au_3^2 = 0, \quad (5.8)$$

onde não podemos ter $u_3 = 0$, pois teríamos assim que $u_2 = 0$ de (5.8) e isto entraria em contradição com (5.7). Isolando u_1 em (5.8) e substituindo em (5.7) obtemos

$$\left(\frac{1}{u_3}\right)^2 = \left(\frac{u_2}{u_3}\right)^3 + a\left(\frac{u_2}{u_3}\right) + b,$$

logo $Q := (x_0, y_0) = \left(\frac{u_2}{u_3}, \frac{1}{u_3}\right) \in E(\mathbb{Q})$. Dividindo (5.8) por u_3^2 vemos que

$$u_1 = \frac{-x^2 + a}{2y}$$

e usando (5.5) obtemos

$$x(P) - a_j = \alpha_j = \frac{-x^2 + a + 2a_jx + 2a_j^2}{2y}, \quad j = 1, 2, 3.$$

Portanto $x(P) = x(2Q)$ pela equação (3.9). Daí temos que $P = 2(\pm Q)$, mostrando que $P \in 2E(\mathbb{Q})$ e assim $\ker \phi \subseteq 2E(\mathbb{Q})$, como gostaríamos. \square

Teorema 6 (Fraco de Mordell). *Seja $E : y^2 = x^3 + ax + b$ uma curva elíptica e $E(\mathbb{Q})$ o seu grupo de pontos racionais. Então o subgrupo $2E(\mathbb{Q})$ tem índice finito em $E(\mathbb{Q})$.*

Demonstração. Do Teorema dos Isomorfismos temos que

$$\frac{E(\mathbb{Q})}{2E(\mathbb{Q})} \cong \phi(E(\mathbb{Q})).$$

O resultado segue dos Lemas 6 e 7. \square

5.3 O Teorema de Mordell

Para concluirmos a demonstração do Teorema de Mordell, precisamos das definições a seguir.

Definição 12. *Seja G um grupo abeliano aditivo. Dizemos que os elementos g_1, g_2, \dots, g_r em G são linearmente independentes se não há solução inteira (m_1, m_2, \dots, m_r) não-trivial para $m_1g_1 + m_2g_2 + \dots + m_rg_r = 0$.*

Definição 13. *Seja $E : y^2 = x^3 + ax + b$ uma curva elíptica e $E(\mathbb{Q})$ seu grupo de pontos racionais. Definimos o posto $r_{\mathbb{Q}}(E)$ como o número máximo de elementos linearmente independentes de $E(\mathbb{Q})$.*

Precisamos ainda do seguinte teorema sobre grupos abelianos, encontrado na página 309 de [6].

Teorema 7 (Teorema da Classificação de Grupos Abelianos Finitamente Gerados). *Seja G um grupo abeliano finitamente gerado e \mathcal{T} seu subgrupo de torção. Então existe um inteiro $r \geq 0$ tal que*

$$G \cong \underbrace{\mathbb{Z} \oplus \dots \oplus \mathbb{Z}}_{r \text{ vezes}} \oplus \mathcal{T}.$$

Se G é um grupo abeliano finito, então existem primos p_1, \dots, p_k e inteiros $n_1, \dots, n_k \geq 1$ unicamente determinados tais que

$$G \cong \frac{\mathbb{Z}}{p_1^{n_1}\mathbb{Z}} \oplus \dots \oplus \frac{\mathbb{Z}}{p_k^{n_k}\mathbb{Z}}.$$

Teorema 8 (Mordell). *Sejam $E : y^2 = x^3 + ax + b$ uma curva elíptica, $E(\mathbb{Q})$ o seu grupo de pontos racionais e \mathcal{T} seu subgrupo de torção. Então*

$$E(\mathbb{Q}) \cong \underbrace{\mathbb{Z} \oplus \dots \oplus \mathbb{Z}}_{r \text{ vezes}} \oplus \mathcal{T}, \tag{5.9}$$

onde $r = r_{\mathbb{Q}}(E)$, e existem primos p_1, \dots, p_k e inteiros $n_1, \dots, n_k \geq 1$ unicamente determinados tais que

$$\mathcal{T} \cong \frac{\mathbb{Z}}{p_1^{n_1}\mathbb{Z}} \oplus \dots \oplus \frac{\mathbb{Z}}{p_k^{n_k}\mathbb{Z}}. \quad (5.10)$$

Demonstração. Temos que $E(\mathbb{Q})$ é um grupo abeliano aditivo. Pelo Teorema Fraco de Mordell e pelas Proposições 12, 13 e 14, temos que $h : E(\mathbb{Q}) \mapsto [0, +\infty)$ é uma função que satisfaz as hipóteses do Teorema 4, logo $E(\mathbb{Q})$ é finitamente gerado. Segue do Teorema 7 que existe $r \geq 0$ tal que $E(\mathbb{Q})$ pode ser escrito como em (5.9).

Por (5.9), temos que $r_{\mathbb{Q}}(E) \geq r$. Se $r_{\mathbb{Q}}(E) > r$, então existem g_1, \dots, g_s em $E(\mathbb{Q})$ para algum $s > r$ tais que

$$m_1 g_1 + \dots + m_s g_s = \mathcal{O} \iff m_1 = \dots = m_s = 0,$$

contrariando (5.9).

Sabemos do Teorema de Nagell-Lutz que \mathcal{T} é finitamente gerado, logo existem primos p_1, \dots, p_k e inteiros $n_1, \dots, n_k \geq 1$ unicamente determinados tais que \mathcal{T} é como em (5.10). \square

É fácil ver que $r_{\mathbb{Q}}(E) = 0$ se e somente se $E(\mathbb{Q})$ é um grupo finito, pois sabemos que o subgrupo de torção de $E(\mathbb{Q})$ é finito. Barry Mazur descreveu em 1975 as possibilidades para o subgrupo de torção de uma curva elíptica (veja [5]).

Teorema 9 (Mazur). *Seja E uma curva elíptica e $E(\mathbb{Q})$ seu grupo de pontos racionais. Então seu subgrupo de pontos racionais $E(\mathbb{Q})_{tor}$ é isomorfo a um dos seguintes grupos:*

$$\frac{\mathbb{Z}}{m\mathbb{Z}}, \quad m = 1, \dots, 10 \text{ ou } m = 12,$$

$$\frac{\mathbb{Z}}{2\mathbb{Z}} \times \frac{\mathbb{Z}}{m\mathbb{Z}}, \quad m = 1, \dots, 4.$$

Além disso, para cada grupo G descrito acima, existe uma curva elíptica E tal que $E(\mathbb{Q})_{tor} = G$.

Capítulo 6

O Posto de Curvas Elípticas

Mostramos no capítulo anterior que o grupo de pontos racionais de uma curva elíptica é finitamente gerado. Mas como saber quantos pontos são necessários para gerar, a menos de um conjunto finito, todos os pontos racionais? Esta pergunta não pode ainda ser respondida em toda a sua generalidade, mas neste capítulo apresentaremos um algoritmo para responder esta pergunta no caso específico em que a curva elíptica E é do tipo

$$E : y^2 = x^3 + Ax, \quad A \in \mathbb{Q}. \quad (6.1)$$

Denotemos por simplicidade $\Gamma = E(\mathbb{Q})$, $\mathbf{0} = (0, 0)$ e $r = r_{\mathbb{Q}}(E)$ o posto da curva $E(\mathbb{Q})$. Pelo Teorema de Mordell

$$\Gamma = \underbrace{\mathbb{Z} \oplus \dots \oplus \mathbb{Z}}_{r \text{ vezes}} \oplus \frac{\mathbb{Z}}{p_1^{n_1} \mathbb{Z}} \oplus \dots \oplus \frac{\mathbb{Z}}{p_k^{n_k} \mathbb{Z}},$$

onde p_j é primo e $n_j \geq 1$, $j = 1, \dots, k$. Segue então que, se q é o número de elementos do conjunto $\{p_j, j = 1, \dots, k; p_j = 2\}$,

$$\frac{\Gamma}{2\Gamma} \cong \underbrace{\frac{\mathbb{Z}}{2\mathbb{Z}} \oplus \dots \oplus \frac{\mathbb{Z}}{2\mathbb{Z}}}_{r \text{ vezes}} \oplus \underbrace{\frac{\mathbb{Z}}{2\mathbb{Z}} \oplus \dots \oplus \frac{\mathbb{Z}}{2\mathbb{Z}}}_{q \text{ vezes}}.$$

Podemos ainda mostrar que

$$[\Gamma : 2\Gamma] = 2^r \cdot 2^q,$$

onde $2^q = |\Gamma_2| = \#\{P \in \Gamma; 2P = \mathcal{O}_E\}$. De fato, sejam Q_j pontos na curva correspondentes aos geradores de $\mathbb{Z}/p_j^{n_j}\mathbb{Z}$, $j = 1, \dots, k$, e P um ponto de Γ tal que $2P = \mathcal{O}$; como P é ponto de torção, devemos ter $P = \sum_{j=1}^k m_j Q_j$, onde $0 \leq m_j \leq p_j^{n_j} - 1$. Então

$$2P = \sum_{j=1}^k 2m_j Q_j = \mathcal{O} \iff 2m_j \equiv 0 \pmod{p_j^{n_j}}.$$

Logo, para cada primo p_j ímpar devemos ter $m_j = 0$ e, para cada primo $p_j = 2$, podemos ter $m_j = 0$ ou $m_j = p_j^{n_j-1}$.

Por outro lado, sabemos que se $P \in \Gamma$, $2P = \mathcal{O}$ se e somente se $P = \mathcal{O}$ ou $y(P) = 0$. Mas $f(x) = x^3 + Ax$ possui três raízes racionais se $-A \in \mathbb{Q}^{*2}$, e $f(x)$ possui apenas uma se $-A \notin \mathbb{Q}^{*2}$; logo

$$2^r = \frac{[\Gamma : 2\Gamma]}{|\Gamma_2|}, \quad |\Gamma_2| = \begin{cases} 4, & \text{se } -A \in \mathbb{Q}^{*2} \\ 2, & \text{caso contrário.} \end{cases} \quad (6.2)$$

Estudaremos mais detalhadamente a aplicação de duplicação de um ponto em Γ a fim de encontrarmos o valor de $[\Gamma : 2\Gamma]$, para podermos assim determinar o posto da curva elíptica.

Considere a nova curva elíptica \bar{E} definida por $\bar{E} : y^2 = x^3 + \bar{A}x$, onde $\bar{A} = -4A$, $\bar{\Gamma} = \bar{E}(\mathbb{Q})$ e a aplicação $\phi : \Gamma \mapsto \bar{\Gamma}$ definida por

$$\phi(P) = \begin{cases} \mathcal{O}_{\bar{E}}, & \text{se } P = \mathcal{O}_E \text{ ou } \mathbf{0} \\ (\bar{x}, \bar{y}) = \left(x + \frac{A}{x}, \frac{y}{x} \left(x - \frac{A}{x}\right)\right), & \text{se } P = (x, y) \neq \mathcal{O}_E, \mathbf{0}. \end{cases} \quad (6.3)$$

Considere ainda $\bar{\bar{E}}$ definida por $\bar{\bar{E}} : y^2 = x^3 + \bar{\bar{A}}x$, onde $\bar{\bar{A}} = 16A$, $\bar{\bar{\Gamma}} = \bar{\bar{E}}(\mathbb{Q})$ e a aplicação $\bar{\phi} : \bar{\Gamma} \mapsto \bar{\bar{\Gamma}}$ definida analogamente por

$$\bar{\phi}(\bar{P}) = \begin{cases} \mathcal{O}_{\bar{\bar{E}}}, & \text{se } \bar{P} = \mathcal{O}_{\bar{E}} \text{ ou } \bar{\mathbf{0}} \\ (\bar{\bar{x}}, \bar{\bar{y}}) = \left(\bar{x} + \frac{A}{\bar{x}}, \frac{\bar{y}}{\bar{x}} \left(\bar{x} - \frac{A}{\bar{x}}\right)\right), & \text{se } \bar{P} = (\bar{x}, \bar{y}) \neq \mathcal{O}_{\bar{E}}, \bar{\mathbf{0}}. \end{cases}$$

Mostraremos que ϕ é homomorfismo de grupos na Proposição 15. Mais ainda, que a aplicação $P \mapsto 2P$ em Γ pode ser escrita como a composição de ϕ , $\bar{\phi}$ e a aplicação

$$\begin{aligned} \psi : \bar{\Gamma} &\longrightarrow \Gamma \\ (x, y) &\longmapsto \left(\frac{x}{4}, \frac{y}{8} \right), \end{aligned}$$

que é isomorfismo de grupos. Podemos ilustrar esta composição com o seguinte diagrama:

$$\Gamma \xrightarrow{\phi} \bar{\Gamma} \xrightarrow{\bar{\phi}} \bar{\Gamma} \xrightarrow{\psi} \Gamma$$

Proposição 15. *A aplicação $\phi : \Gamma \mapsto \bar{\Gamma}$ é um homomorfismo de grupos com $\ker(\phi) = \{\mathcal{O}, \mathbf{0}\}$.*

Demonstração. Vejamos primeiramente que ϕ está bem definida. Para isto basta observar que, se (x, y) pertence a Γ , então

$$\left(\frac{y}{x} \left(x - \frac{A}{x} \right) \right)^2 = \left(x + \frac{A}{x} \right)^3 + A \left(x + \frac{A}{x} \right).$$

Sejam P_1 e P_2 pontos de Γ ; devemos mostrar que $\phi(P_1 + P_2) = \phi(P_1) + \phi(P_2)$. Dividiremos a demonstração em casos.

Se $P_1 = \mathbf{0}$ e $P_2 = \mathbf{0}$ então $\phi(P_1 + P_2) = \phi(\mathcal{O}_E) = \mathcal{O}_{\bar{E}}$ e $\phi(\mathbf{0}) + \phi(\mathbf{0}) = \mathcal{O}_{\bar{E}} + \mathcal{O}_{\bar{E}} = \mathcal{O}_{\bar{E}}$ e o teorema está demonstrado neste caso.

Se $P_1 = \mathbf{0}$ e $P_2 = (x_2, y_2) \neq \mathbf{0}$, vemos através de (3.5) que

$$P_1 + P_2 = \left(\frac{A}{x_2}, -\frac{Ay_2}{x_2^2} \right)$$

e, pela definição de ϕ , $\phi(P_1 + P_2) = (\bar{x}(P_1 + P_2), \bar{y}(P_1 + P_2))$ onde

$$\begin{aligned} \bar{x}(P_1 + P_2) &= \frac{y_2^2}{x_2^2} = \bar{x}(P_2), \\ \bar{y}(P_1 + P_2) &= \frac{-\frac{Ay_2}{x_2^2} \left(\left(\frac{A}{x_2} \right)^2 - A \right)}{(A/x_2)^2} = \frac{y_2(x^2 - A)}{x_2^2} = \bar{y}(P_2). \end{aligned}$$

Suponha $P_1 \neq \mathbf{0}$. Vejamos agora que, se $P = (x, y)$ é um elemento de Γ ,

$$\phi(-P) = \phi(x, -y) = \left(\left(\frac{-y}{x} \right)^2, \frac{-y(x^2 - A)}{x^2} \right) = \left(\left(\frac{y}{x} \right)^2, \frac{-y(x^2 - A)}{x^2} \right) = -\phi(P).$$

Logo, para concluir a demonstração, basta mostrarmos que $\phi(P_1) + \phi(P_2) + \phi(P_3) = \mathcal{O}_{\bar{E}}$ sempre que $P_1 + P_2 + P_3 = \mathcal{O}_E$, pois teremos assim que se $P_1, P_2 \in \Gamma$ e P_3 é tal que $P_1 + P_2 + P_3 = \mathcal{O}_E$, então

$$\phi(P_1 + P_2) = \phi(-P_3) = -\phi(P_3) = \phi(P_1) + \phi(P_2).$$

Sejam então P_1, P_2 e P_3 pontos de Γ tais que $P_1 + P_2 + P_3 = \mathcal{O}_E$. Vamos supor ainda que $P_j \neq \mathbf{0}$ e $P_j \neq \mathcal{O}_E$, $j = 1, 2, 3$, já que estes casos foram tratados anteriormente. Por hipótese existe uma reta $y = \lambda x + \nu$ que contém estes três pontos; mostraremos que $\phi(P_1), \phi(P_2), \phi(P_3)$ pertencem à reta $y = \bar{\lambda}x + \bar{\nu}$, onde

$$\bar{\lambda} = \frac{\nu\lambda - A}{\nu}, \quad \bar{\nu} = \frac{\nu^2 + A\lambda^2}{\nu}.$$

Lembramos que $\nu \neq 0$ pois $P_j \neq \mathbf{0}$, $j = 1, 2, 3$. Denotando $\phi(P_j) = (\bar{x}_j, \bar{y}_j)$, $j = 1, 2, 3$, e usando a definição de ϕ temos de fato que

$$\bar{\lambda}\bar{x}_j + \bar{\nu} = \frac{\nu\lambda - A}{\nu} \left(\frac{\bar{y}_j}{\bar{x}_j} \right)^2 + \frac{\nu^2 + A\lambda^2}{\nu} = \frac{\nu\lambda\bar{y}_j^2 - A(\bar{y}_j^2 - \lambda^2\bar{x}_j^2) + \nu^2\bar{x}_j^2}{\nu\bar{x}_j^2},$$

logo,

$$\bar{\lambda}\bar{x}_j + \bar{\nu} = \frac{\nu\lambda(x_j^3 + Ax_j) - A\nu(y_j + \lambda x_j) + \nu^2x_j^2}{\nu x_j^2} = \frac{x_j^2(\lambda x_j + \nu) - Ay_j}{x_j^2} = \frac{y_j(x_j^2 - A)}{x_j^2} = \bar{y}_j,$$

para $j = 1, 2, 3$. Logo $\phi(P_1), \phi(P_2), \phi(P_3)$ são colineares.

Finalmente, vemos diretamente da definição que $\ker \phi = \{\mathcal{O}_E, \mathbf{0}\}$. □

Proposição 16. *A aplicação $\Phi : \Gamma \longrightarrow \Gamma$ definida por $\Phi = \psi \circ \bar{\phi} \circ \phi$ satisfaz $\Phi(P) = 2P$, $\forall P \in \Gamma$.*

Demonstração. A demonstração deste resultado é simples, porém trabalhosa. Das definições acima vemos que, se $P = (x, y)$ é um ponto de Γ com $y \neq 0$,

$$\Phi(P) = \psi \circ \bar{\phi} \left(\frac{y^2}{x^2}, \frac{y(x^2 - A)}{x^2} \right) = \psi \left(\frac{\left(\frac{y(x^2 - A)}{x^2} \right)^2}{\left(\frac{y^2}{x^2} \right)^2}, \frac{\frac{y(x^2 - A)}{x^2} \left(\left(\frac{y^2}{x^2} \right)^2 + 4A \right)}{\left(\frac{y^2}{x^2} \right)^2} \right),$$

isto é,

$$\Phi(P) = \left(\frac{\left(\frac{y(x^2 - A)}{x^2} \right)^2}{4 \left(\frac{y^2}{x^2} \right)^2}, \frac{\frac{y(x^2 - A)}{x^2} \left(\left(\frac{y^2}{x^2} \right)^2 + 4A \right)}{8 \left(\frac{y^2}{x^2} \right)^2} \right).$$

Logo

$$\Phi(P) = \left(\frac{(x^2 - A)^2}{4y^2}, \frac{x^6 + 5Ax^4 - 5A^2x^2 - A^3}{8y^3} \right).$$

Por outro lado, das fórmulas de (3.6) temos que

$$x(2P) = \frac{x^4 - 2Ax + A^2}{4y^2} \text{ e}$$

$$y(2P) = -(\lambda x(2P) + \nu), \text{ onde } \lambda = \frac{3x^2 + A}{2y}, \text{ e } \nu = y - \lambda x = \frac{-4x^6 + 4A^2x^2}{8y^3}.$$

Obtemos assim $\Phi(P) = (x(2P), y(2P))$, como gostaríamos. \square

Pelo Teorema Fraco de Mordell e pela seguinte inclusão de grupos

$$\Gamma \supseteq \bar{\phi}(\bar{\Gamma}) \supseteq \bar{\phi}(\phi(\Gamma)) \cong 2\Gamma,$$

temos que

$$[\Gamma : 2\Gamma] = [\Gamma : \bar{\phi}(\bar{\Gamma})][\bar{\phi}(\bar{\Gamma}) : 2\Gamma]. \quad (6.4)$$

Reescreveremos o lado direito de (6.4) através do seguinte resultado, encontrado na página 27 do livro [1].

Lema 8. *Sejam G um grupo abeliano, H um subgrupo de G e $f : G \longrightarrow G'$ um homomorfismo de grupos. Se o índice $[G : H]$ é finito, então $[f(G) : f(H)]$ e $[\ker f : \ker f \cap H]$ também o são. Mais ainda,*

$$[f(G) : f(H)] = \frac{[G : H]}{[\ker f : \ker f \cap H]}.$$

Aplicando o lema com $G = \bar{\Gamma}$, $H = \phi(\Gamma)$ e $f = \bar{\phi}$, temos que

$$[\bar{\phi}(\bar{\Gamma}) : 2\Gamma] = [\bar{\phi}(\bar{\Gamma}) : \bar{\phi}(\phi(\Gamma))] = \frac{[\bar{\Gamma} : \phi(\Gamma)]}{[\ker \bar{\phi} : \ker \bar{\phi} \cap \phi(\Gamma)]},$$

e de (6.4) segue que

$$[\Gamma : 2\Gamma] = \frac{[\Gamma : \bar{\phi}(\bar{\Gamma})][\bar{\Gamma} : \phi(\Gamma)]}{[\ker \bar{\phi} : \ker \bar{\phi} \cap \phi(\Gamma)]}. \quad (6.5)$$

Simplificaremos a expressão acima com a proposição a seguir.

Proposição 17. *Seja $\phi : \Gamma \longrightarrow \bar{\Gamma}$ como em (6.3). Um ponto $(\bar{x}, \bar{y}) \in \bar{\Gamma}$, $\bar{x} \neq 0$, pertence à imagem $\phi(\Gamma)$ se e somente se $\bar{x} \in \mathbb{Q}^{*2}$. Além disso, $\mathbf{0} \in \phi(\Gamma)$ se e somente se $-A \in \mathbb{Q}^{*2}$.*

Demonstração. Seja $(\bar{x}, \bar{y}) \in \bar{\Gamma}$, $\bar{x} \neq 0$. Segue diretamente da definição que se $(\bar{x}, \bar{y}) \in \phi(\Gamma)$, então $\bar{x} \in \mathbb{Q}^{*2}$. Por outro lado, se $\bar{x} = t^2$, $t \in \mathbb{Q}^*$, definimos $P = (x, y)$, onde

$$x = \frac{1}{2} \left(\bar{x} + \frac{\bar{y}}{t} \right), \quad y = tx.$$

Então

$$x^3 + Ax = x(x^2 + A) = x \left(\frac{1}{4} \left(\bar{x}^2 + 2\bar{x}\frac{\bar{y}}{t} + \frac{\bar{y}^2}{t^2} \right) + A \right) = x \left(\frac{\bar{x}^2 t^2 + 2\bar{x}\bar{y}t + \bar{y}^2 + 4At^2}{4t^2} \right),$$

logo

$$x^3 + Ax = x \left(\frac{\bar{x}^3 + 2\bar{x}\bar{y}t + \bar{y}^2 + 4A\bar{x}}{4\bar{x}} \right).$$

Mas $\bar{y}^2 = \bar{x}^3 + A\bar{x} = \bar{x}^3 - 4A\bar{x}$, logo

$$x^3 + Ax = x \frac{\bar{x}^3 + 2\bar{x}\bar{y}t + \bar{x}^3}{4\bar{x}} = \frac{1}{2} x(\bar{x}^2 + \bar{y}t) = \frac{1}{2} x\bar{x} \left(\bar{x} + \frac{\bar{y}}{t} \right) = \bar{x}x^2 = (tx)^2 = y^2,$$

portanto (x, y) é de fato um ponto de Γ . Além disso,

$$x(\phi(P)) = x + \frac{A}{x} = \frac{x^3 + Ax}{x^2} = \frac{y^2}{x^2} = \frac{(tx)^2}{x^2} = t^2 = \bar{x},$$

logo $\phi(x, y)$ coincide com (\bar{x}, \bar{y}) , exceto possivelmente pelo sinal da coordenada y . Mas $y(\phi(x, -y)) = -y(\phi(x, y))$, portanto $(\bar{x}, \bar{y}) \in \phi(\Gamma)$.

Note que, se $(x, y) \in \Gamma$,

$$\phi(x, y) = \left(\frac{x^3 + Ax}{x^2}, \frac{y}{x} \left(x - \frac{A}{x} \right) \right) = \left(\frac{y^2}{x^2}, \frac{y}{x} \left(x - \frac{A}{x} \right) \right).$$

Logo $\mathbf{0} \in \phi(\Gamma)$ se, e somente se existe um ponto $P = (x, 0)$ em Γ com $x \neq 0$; mas isto ocorre se, e somente se $-A \in \mathbb{Q}^{*2}$, concluindo a demonstração. \square

Segue pelas Proposições 15 e 17 que

$$[\ker \bar{\phi} : \ker \bar{\phi} \cap \phi(\Gamma)] = \begin{cases} 1, & \text{se } -A \in \mathbb{Q}^{*2} \\ 2, & \text{caso contrário.} \end{cases} \quad (6.6)$$

Desse modo, substituindo a equação (6.5) em (6.2) e usando (6.6), temos que

$$2^r = \frac{[\Gamma : \bar{\phi}(\bar{\Gamma})][\bar{\Gamma} : \phi(\Gamma)]}{4} \quad (6.7)$$

Apresentaremos agora um método para encontrar indiretamente o valor de $[\Gamma : \bar{\phi}(\bar{\Gamma})]$ e $[\bar{\Gamma} : \phi(\Gamma)]$. Defina a aplicação $\alpha : \Gamma \mapsto \mathbb{Q}^*/\mathbb{Q}^{*2}$ por

$$\alpha(P) = \begin{cases} \beta(1), & \text{se } P = \mathcal{O} \\ \beta(A), & \text{se } P = \mathbf{0} \\ \beta(x(P)), & \text{se } P \neq \mathcal{O}, \mathbf{0}, \end{cases} \quad (6.8)$$

onde $\beta : \mathbb{Q}^* \mapsto \mathbb{Q}^*/\mathbb{Q}^{*2}$ é o homomorfismo canônico.

Proposição 18. *A aplicação α é um homomorfismo de grupos e $\ker \alpha = \bar{\phi}(\bar{\Gamma})$.*

Demonstração. Segue diretamente da definição que $\alpha(P) = \alpha(-P)$ para todo P em Γ ; basta então mostrarmos que $\alpha(P_1)\alpha(P_2)\alpha(P_3) = 1$ sempre que $P_1, P_2, P_3 \in \Gamma$ são pontos tais que $P_1 + P_2 + P_3 = \mathcal{O}$.

Sejam $P_j = (x_j, y_j) \in \Gamma \setminus \{\mathcal{O}\}$, $j = 1, 2, 3$, pontos tais que $P_1 + P_2 + P_3 = \mathcal{O}$. Existe uma reta $y = mx + k$ contendo estes três pontos e

$$(mx + k)^2 = x^3 + Ax \iff x^3 - m^2x^2 + (A - 2mk)x - k^2 = 0. \quad (6.9)$$

Se $x_1x_2x_3 \neq 0$ então $x_1x_2x_3 = k^2$ e

$$\alpha(P_1)\alpha(P_2)\alpha(P_3) = \beta(x_1)\beta(x_2)\beta(x_3) = \beta(x_1x_2x_3) = \beta(k^2) = 1.$$

Se $x_j = 0$ para algum $j = 1, 2, 3$, digamos $x_3 = 0$, teremos que $k = 0$ e, de (6.9),

$$x(x^2 - m^2x + A) = 0,$$

logo $x_1x_2 = A$ e

$$\alpha(P_1)\alpha(P_2)\alpha(P_3) = \beta(x_1)\beta(x_2)\beta(A) = \beta(x_1x_2)\beta(A) = \beta(A)\beta(A) = 1,$$

como gostaríamos. A segunda afirmação segue diretamente da Proposição 17. \square

Ilustramos os homomorfismos definidos nesta seção da seguinte maneira:

$$\begin{array}{ccccc} \Gamma & \xrightarrow{\phi} & \bar{\Gamma} & \xrightarrow{\bar{\phi}} & \bar{\bar{\Gamma}} \xrightarrow{\psi} \Gamma \\ \downarrow \alpha & & \downarrow \bar{\alpha} & & \\ \mathbb{Q}^* \setminus \mathbb{Q}^{*2} & & \mathbb{Q}^* \setminus \mathbb{Q}^{*2} & & \end{array}$$

Usando a Proposição 18 e a equação (6.7) temos que

$$2^r = \frac{|\alpha(\Gamma)||\bar{\alpha}(\bar{\Gamma})|}{4}, \quad (6.10)$$

onde $\bar{\alpha} : \bar{\Gamma} \mapsto \mathbb{Q}^* / \mathbb{Q}^{*2}$ é definido analogamente. Vejamos agora como determinar os elementos dos conjuntos $\alpha(\Gamma)$ e $\bar{\alpha}(\bar{\Gamma})$, e em particular a sua ordem.

Proposição 19. *O grupo $\alpha(\Gamma)$ é composto por:*

(a) $1, \beta(A)$;

(b) $\beta(\hat{x}), -\beta(\hat{x})$, se $x^2 = -A$ tem solução $\hat{x} \in \mathbb{Z}$;

(c) $\beta(d)$, onde d é um divisor de A tal que a equação

$$dS^4 + \frac{A}{d}T^4 = U^2 \quad (6.11)$$

tem solução inteira (S, T, U) onde

$$S, T \geq 1 \text{ e } \text{mdc}\left(\frac{A}{d}, S\right) = 1 \quad (6.12)$$

Demonstração. Vejamos primeiramente que $\alpha(\Gamma)$ está contido no conjunto descrito nos itens (a), (b) e (c), que denotaremos por \mathcal{B} . Claramente $\alpha(\Gamma_2) \subseteq \mathcal{B}$, pois a imagem destes elementos são exatamente aqueles descritos nos itens (a) e (b). Seja $P = (x, y)$ em $\Gamma \setminus \Gamma_2$, onde $x = \frac{s}{T^2}$, $y = \frac{u}{T^3}$ com $\text{mdc}(s, T) = \text{mdc}(u, T) = 1$ e $T > 0$. Note que devemos ter u e s não nulos.

Seja $d = \text{mdc}(A, s)$ e escreva $A = dA_1$ e $s = ds_1$, onde o sinal de d é escolhido de modo que $s_1 > 0$. Da equação da curva temos

$$\frac{u^2}{T^6} = \frac{s^3}{T^6} + A\frac{s}{T^2} \iff u^2 = s^3 + AsT^4,$$

logo $d \mid u$; escrevendo $u = du_1$ temos que

$$d^2u_1^2 = d^3s_1^3 + dA_1ds_1T^4 \iff u_1^2 = ds_1^3 + A_1s_1T^4,$$

logo

$$u_1^2 = s_1(ds_1^2 + A_1T^4). \quad (6.13)$$

Note que $\text{mdc}(s_1, ds_1^2 + A_1T^4) = 1$ pois $\text{mdc}(s_1, A_1) = 1$. Segue de (6.13) que s_1 e $ds_1^2 + A_1T^4$ são quadrados e escrevemos

$$s_1 = S^2, \quad S > 0, \quad \text{e} \quad ds_1^2 + A_1T^4 = U^2.$$

Então

$$dS^4 + \frac{A}{d}T^4 = U^2$$

tem solução inteira (S, T, U) satisfazendo (6.12). Além disso,

$$\alpha(P) = \beta(x(P)) = \beta\left(\frac{ds_1}{T^2}\right) = \beta\left(\frac{dS^2}{T^2}\right) = \beta(d).$$

Por outro lado, é claro que $\{\beta(1), \beta(A)\} \subseteq \alpha(\Gamma)$ e, se $x^2 - A = 0$ tem solução inteira \hat{x} , $\{\pm\beta(\hat{x})\} \subseteq \alpha(\Gamma)$. Se d é um divisor de A tal que (6.11) tem solução inteira (S, T, U) satisfazendo (6.12), então definindo $P = \left(\frac{dS^2}{T^2}, \frac{dUS}{t^3}\right)$ temos

$$U^2 = dS^4 + \frac{A}{d}T^4 \iff d^2U^2 = d^3S^4 + dAT^4 \iff d^2U^2S^2 = d^3S^6 + dAS^2T^4,$$

logo

$$\frac{d^2U^2S^2}{T^6} = \frac{d^3S^6}{T^6} + \frac{AdS^2}{T^2} \iff \left(\frac{dUS}{t^3}\right)^2 = \left(\frac{dS^2}{T^2}\right)^3 + A\left(\frac{dS^2}{T^2}\right),$$

como gostaríamos. □

6.1 Curvas Elípticas do tipo $y^2 = x^3 - px$, p primo

Na seção anterior determinamos um algoritmo para calcular o posto de uma classe de curvas elípticas. Agora vamos nos restringir um pouco mais para poder aplicá-lo de fato, uma vez que nem sempre é possível decidir sobre a existência de soluções de equações diofantinas. Nesta seção nos baseamos nos artigos [4] e [9] para estudarmos curvas elípticas da forma

$$y^2 = x^3 - px, \quad p \text{ primo.} \tag{6.14}$$

Proposição 20. *Sejam p um primo, $E : y^2 = x^3 - px$, $\Gamma = E(\mathbb{Q})$ seu grupo de pontos racionais e \mathcal{T} seu subgrupo de torção. Então $\mathcal{T} \cong \mathbb{Z}/2\mathbb{Z}$.*

Demonstração. Seja $P = (x, y) \in \Gamma$, $P \neq \mathcal{O}, \mathbf{0}$. Sabemos do Teorema de Nagell-Lutz que $x, y \in \mathbb{Z}$ e $y^2 \mid \Delta = 4p^3$ são condições necessárias para que P seja um ponto de torção; vejamos que os pontos satisfazendo estas condições não pertencem a \mathcal{T} .

Seja $P = (x, y) \in \Gamma$ tal que $x, y \in \mathbb{Z}$ e $y^2 \mid \Delta = 4p^3$. Como $y^2 \mid 4p^3$ então $y^2 = 1, 4, p^2$ ou $4p^2$. Note que $y^2 = x^3 - px = x(x^2 - p)$, onde x e $x^2 - p$ são números inteiros.

Se $y^2 = 1$ temos uma única solução $(p, x) = (2, -1)$. Se $y^2 = 4$ temos três soluções: $(p, x) = (2, 2), (5, -1)$ ou $(17, -4)$. Para os casos $y^2 = p^2$ e $y^2 = 4p^2$, temos que $x = pt$, $t \in \mathbb{Z}$. Fixando $y^2 = p^2$, obtemos $t(pt^2 - 1) = 1$ e temos assim uma única solução $(p, x) = (2, 2)$. Para $y^2 = 4p^2$, analogamente temos que $t(pt^2 - 1) = 4$ e existe também uma única solução $(p, x) = (5, 5)$.

Vemos acima que apenas três curvas possuem pontos diferentes de \mathcal{O} e $\mathbf{0}$ candidatos à pontos de torção:

- $y^2 = x^3 - 2x$ e os pontos $(-1, -1), (-1, 1), (2, 2)$ e $(2, -2)$;
- $y^2 = x^3 - 5x$ e os pontos $(-1, 2), (-1, -2), (5, 10)$ e $(5, -10)$;
- $y^2 = x^3 - 17x$ e os pontos $(-4, 2)$ e $(-4, -2)$.

Mas usando (3.6) vemos que, em cada um destes casos, $2P$ não possui coordenadas inteiras e portanto $2P \notin \mathcal{T}$. Segue que os únicos pontos de torção para curvas do tipo (6.14) são \mathcal{O} e $\mathbf{0}$. □

Teorema 10. *Seja $E : y^2 = x^3 - px$ uma curva elíptica, p um primo ímpar da forma $p = u^4 + v^4$, u, v inteiros. Então $E(\mathbb{Q}) \cong \mathbb{Z} \oplus \mathbb{Z} \oplus \mathbb{Z}/2\mathbb{Z}$.*

Cabe ressaltar que todo primo de Fermat $p = 2^{2^n} + 1$ com $n \geq 2$ é da forma $p = u^4 + v^4$, $u, v \in \mathbb{Z}$.

Demonstração. Pela Proposição 20 o subgrupo de torção de Γ é isomorfo a $\mathbb{Z}/2\mathbb{Z}$. Usaremos a equação (6.10) e, com a mesma notação, a Proposição 19 para demonstrar que o posto de $E(\mathbb{Q})$ é 2.

Suponha sem perda de generalidade que u e v são inteiros positivos. Sabemos que $x^2 = p$ não tem soluções inteiras. Devemos determinar para quais divisores d de $A = -p$ a equação (6.11) tem solução (S, T, U) satisfazendo (6.12), mas como já sabemos que $\{\beta(1), \beta(-p)\}$ está contido em $\alpha(\Gamma)$, será necessário verificar apenas se $\beta(-1), \beta(p) \in \alpha(\Gamma)$. Para $d = p$, a equação $pS^4 - T^4 = U^2$ tem solução $(S, T, U) = (1, v, u^2)$ satisfazendo claramente (6.12). Como $\alpha(\Gamma)$ é um grupo, $\beta(p)\beta(-p) = \beta(-1) \in \alpha(\Gamma)$ e então $|\alpha(\Gamma)| = 4$.

Para encontrar o valor de $|\bar{\alpha}(\bar{\Gamma})|$, para cada divisor d de $\bar{A} = 4p$ devemos verificar se $dS^4 + \frac{4p}{d}T^4 = U^2$ possui solução. Claramente para $d < 0$ tal equação não tem solução e, além disso, $\beta(\{1, 2, 4, p, 2p, 4p\}) = \{\beta(1), \beta(2), \beta(p), \beta(2p)\}$. Novamente, sabemos que $\{1, \beta(p)\} \subseteq \bar{\alpha}(\bar{\Gamma})$ e, ao mostrarmos que $\beta(2) \in \bar{\alpha}(\bar{\Gamma})$, teremos que $\beta(2p) \in \bar{\alpha}(\bar{\Gamma})$. De fato, para $d = 2$, a equação $2S^4 + 2pT^4 = U^2$ possui solução $(S, T, U) = (u - v, 1, 2u^2 - 2uv + 2v^2)$ e, supondo sem perda de generalidade que $u > v$, temos que tal solução satisfaz (6.12): se $2 \mid (u - v)$ então u e v têm a mesma paridade e assim $2 \mid p$, um absurdo; se $p \mid (u - v)$ então

$$u \equiv v \pmod{p} \implies 0 \equiv p \equiv u^4 + v^4 \equiv 2u^4 \pmod{p},$$

e como p não divide 2 teríamos que p é divisor de u e v , absurdo pois p é primo.

Segue então que $|\bar{\alpha}(\bar{\Gamma})| = 4$ e, pela equação (6.10), o posto r da curva é 2. \square

Teorema 11. *Seja $E : y^2 = x^3 - px$ uma curva elíptica, p um primo de Mersenne. Então*

$$\Gamma = \begin{cases} \mathbb{Z}/2\mathbb{Z}, & \text{se } p = 3 \\ \mathbb{Z} \oplus \mathbb{Z}/2\mathbb{Z}, & \text{se } p > 3. \end{cases}$$

Demonstração. Pela Proposição 20, o subgrupo de torção de uma curva deste tipo é isomorfo a $\mathbb{Z}/2\mathbb{Z}$. Para determinar o posto destas curvas, usaremos novamente, com a mesma notação, a Proposição 19.

Seja $p = 3$. Já sabemos que $\{\beta(1), \beta(-3)\} \subseteq \alpha(\Gamma)$ e $x^2 = 3$ não tem solução inteira. Devemos portanto verificar se $\beta(-1), \beta(3) \in \alpha(\Gamma)$. Como $\alpha(\Gamma)$ é grupo, temos que $\beta(-1) \in \alpha(\Gamma)$ se e somente se $\beta(3) \in \alpha(\Gamma)$.

Note que para $d = -1$ a equação $dS^4 - \frac{p}{d}T^4 = U^2$ não tem solução: se $-S^4 + 3T^4 = U^2$ tem solução inteira, teremos que $-S^4 \equiv U^2 \equiv 1 \pmod{3}$ pelo Pequeno Teorema de Fermat; mas isto é impossível pois $(S^2)^2 \equiv -1 \pmod{3}$ não tem solução. Logo $\beta(-1) \notin \alpha(\Gamma)$ e portanto $\alpha(\Gamma) = \{\beta(1), \beta(-3)\}$.

Para encontrar o valor de $\bar{\alpha}(\bar{\Gamma})$, observamos que para d divisor negativo de 12, a equação $dS^4 + \frac{12}{d}T^4 = U^2$ não tem solução, logo $\bar{\alpha}(\bar{\Gamma}) \subseteq \beta(\{1, 2, 3, 4, 6, 12\}) = \{\beta(1), \beta(2), \beta(3), \beta(6)\}$. Já sabemos que $\{\beta(1), \beta(3)\} \subseteq \bar{\alpha}(\bar{\Gamma})$, logo devemos verificar se $\beta(2), \beta(6) \in \bar{\alpha}(\bar{\Gamma})$ onde, analogamente, $\beta(2) \in \bar{\alpha}(\bar{\Gamma})$ se e somente se $\beta(6) \in \bar{\alpha}(\bar{\Gamma})$.

Para $d = 2$, se $2S^4 + 6T^4 = U^2$ tem solução satisfazendo (6.12), temos, pelo Pequeno Teorema de Fermat, que

$$2S^4 \equiv U^2 \pmod{3} \iff 2(S^2)^2 \equiv U^2 \pmod{3} \iff 2 \equiv 1 \pmod{3},$$

um absurdo. Portanto, $\beta(2) \notin \bar{\alpha}(\bar{\Gamma})$ e, por (6.10), temos que o posto r da curva é 0.

Seja agora $p = 2^q - 1$ um primo de Mersenne, $q > 2$. Devemos ter q primo também, pois se $t \mid q$, $1 < t < p$, teríamos que $(2^t - 1)$ divide p . Para encontrar o valor de $|\alpha(\Gamma)|$, como já sabemos que $\{\beta(1), \beta(-p)\} \subseteq \alpha(\Gamma)$, devemos verificar se $\beta(-1), \beta(p) \in \alpha(\Gamma)$. Como $\alpha(\Gamma)$ é grupo, $\beta(-1) \in \alpha(\Gamma)$ se e somente se $\beta(p) \in \alpha(\Gamma)$.

Para $d = -1$, vemos que a equação $dS^4 - \frac{p}{d}T^4 = U^2$ não tem solução, pois teríamos assim que

$$-S^4 \equiv U^2 \pmod{p} \iff -1 \equiv (U(S^{-1})^2)^2 \pmod{p},$$

impossível pois -1 não é resíduo quadrático módulo p , para $p > 3$ primo de Mersenne; a demonstração deste fato pode ser encontrada no livro [1]. Segue que $|\alpha(\Gamma)| = 2$.

Sabemos que a equação $dS^4 + \frac{4p}{d}T^4 = U^2$ não tem solução para d divisor negativo de $4p$ e, da Proposição 19, que $\{\beta(1), \beta(4p)\} \subseteq \bar{\alpha}(\bar{\Gamma})$. Como $\bar{\alpha}(\bar{\Gamma})$ é subgrupo de

$$\beta(\{1, 2, 4, p, 2p, 4p\}) = \{\beta(1), \beta(2), \beta(p), \beta(2p)\},$$

resta verificar se $\beta(2), \beta(2p) \in \bar{\alpha}(\bar{\Gamma})$, onde $\beta(2) \in \bar{\alpha}(\bar{\Gamma})$ se e somente se $\beta(2p) \in \bar{\alpha}(\bar{\Gamma})$. A equação $2S^4 + 2pT^4 = U^2$ tem solução $(S, T, U) = (1, 1, 2^{(q+1)/2})$ satisfazendo claramente (6.12), logo $\bar{\alpha}(\bar{\Gamma}) = \{\beta(1), \beta(2), \beta(p), \beta(2p)\}$. Finalmente, pela equação (6.10), temos que o posto r da curva é 1, como gostaríamos. \square

6.2 Curvas Elípticas do tipo $y^2 = x^3 - 2px$, p primo

Nesta seção determinaremos qual a estrutura do grupo de pontos racionais de curvas elípticas do tipo

$$E : y^2 = x^3 - 2px, \quad p \text{ primo tal que } 2p = (u^2 + 2v^2)^4 + (u^2 - 2v^2)^4, \quad u, v \in \mathbb{Z}. \quad (6.15)$$

O texto desta seção é baseado no artigo [10].

Proposição 21. *Seja E uma curva elíptica do tipo (6.15) e \mathcal{T} o subgrupo de torsão do seu grupo de pontos racionais. Então $\mathcal{T} \cong \mathbb{Z}/2\mathbb{Z}$.*

Para demonstrar este resultado, faremos a redução desta curva módulo p , isto é, estudaremos a curva elíptica definida pela mesma equação sobre \mathbb{F}_p , $p \neq 2, 3$:

$$\bar{E}(\mathbb{F}_p) : Y^2Z = X^3 - \bar{2}pXZ^2 = \{[\bar{a} : \bar{b} : \bar{c}] \in \mathbb{P}^2(\mathbb{F}_p); \bar{b}^2\bar{c} = \bar{a}^3 - \bar{2}p\bar{a}\bar{c}^2\}.$$

Faremos esta redução módulo primos p que não dividem o discriminante da curva, de modo que a curva elíptica sobre \mathbb{F}_p é não singular.

Seja $P \in E(\mathbb{Q})$. Temos que existem únicos inteiros a, b e c relativamente primos tais que $P = [a : b : c]$. Se \bar{a}, \bar{b} e \bar{c} denotam, respectivamente, as classes de a, b e c módulo p , temos que $\phi : P = [a : b : c] \in \mathcal{T} \mapsto \bar{P} = [\bar{a} : \bar{b} : \bar{c}] \in \bar{E}(\mathbb{F}_p)$ é homomorfismo de grupos, pois esta aplicação preserva retas. Além disso, $\ker(\phi) = \{\mathcal{O}_E\}$, pois, se $P \in \mathcal{T} \setminus \{\mathcal{O}\}$, segue do Teorema de Nagell-Lutz que existem a e b inteiros tais que $P = [a : b : 1]$; portanto $\phi(P) = [\bar{0} : \bar{1} : \bar{0}]$ se e somente se $P = \mathcal{O}_E$. Segue do Teorema de Isomorfismos que \mathcal{T} é isomorfo a um subgrupo de $\bar{E}(\mathbb{F}_p)$, e portanto $|\mathcal{T}|$ divide $|\bar{E}(\mathbb{F}_p)|$.

Podemos agora demonstrar a Proposição 21.

Demonstração. Temos que 3 e 5 não podem ser escritos na forma acima, logo não dividem o discriminante $\Delta = 2^5 p^3$ da curva. Fazendo a redução módulo 3 da curva, temos que ela se reduz a $\bar{E} : y^2 = x^3 - x$ ou $\bar{E} : y^2 = x^3 - \bar{2}x$; é possível verificar que ambas as curvas possuem 4 pontos sobre o corpo \mathbb{F}_3 . Fazendo a redução mod 5, a curva é reduzida a $\bar{E} : y^2 = x^3 - \bar{2}x$, pois $2p = (u^2 + 2v^2)^4 + (u^2 - 2v^2)^4 \equiv 1 + 1 \equiv 2 \pmod{5}$, pelo Pequeno Teorema de Fermat; esta curva possui 10 pontos sobre \mathbb{F}_5 . Como $|\mathcal{T}|$ divide $|\bar{E}(\mathbb{F}_p)|$ para todo primo que não divide $\Delta = 2^5 p^3$, temos que $|\mathcal{T}| \leq 2$; como $\{\mathcal{O}, \mathbf{0}\} \subseteq \mathcal{T}$, segue que $\mathcal{T} \cong \mathbb{Z}/2\mathbb{Z}$. \square

Teorema 12. *Seja E uma curva elíptica do tipo (6.15). Então $r_{\mathbb{Q}}(E) = 3$.*

Demonstração. Utilizaremos novamente a Proposição 19, com a mesma notação. Sabemos que $\{\beta(1), \beta(-2p)\} \subseteq \alpha(\Gamma)$ e que $x^2 - 2p = 0$ não tem solução inteira, logo devemos verificar apenas se $\beta(-1), \beta(2), \beta(-2), \beta(p), \beta(-p), \beta(2p) \in \alpha(\Gamma)$.

Seja $A = -2p$. Note que, para $d = -1$, a equação $dS^4 + \frac{A}{d}T^4 = U^2$ possui uma solução $(S, T, U) = (u^2 + 2v^2, 1, (u^2 + 2v^2)^2)$ satisfazendo (6.12): de fato, temos $\text{mdc}(2p, u^2 + 2v^2) = 1$, pois se $2 \mid (u^2 + 2v^2)$ teríamos que $2 \mid u$ e assim $2^4 \mid (u^2 + 2v^2)^4 + (u^2 - 2v^2)^4 = 2p$, impossível; se $p \mid (u^2 + 2v^2)$ então teríamos de (6.15) que $p \mid (u^2 - 2v^2)$, e assim

$$p^4 \mid (u^2 + 2v^2)^4 + (u^2 - 2v^2)^4 = 2p,$$

impossível. Logo $\beta(-1) \in \alpha(\Gamma)$.

Para $d = p$, é possível verificar que $(S, T, U) = (1, 2uv, u^4 - 4v^4)$ é solução de (6.11) satisfazendo $1, 2uv \geq 1$ e $\text{mdc}(-2, 1) = 1$; logo $\beta(p) \in \alpha(\Gamma)$. Como $\alpha(\Gamma)$ é um grupo, temos que $\beta(-p), \beta(2p), \beta(2)$ e $\beta(-2)$ também pertencem a $\alpha(\Gamma)$, pois $\beta(-p) = \beta(-1)\beta(p)$, $\beta(2p) = \beta(-1)\beta(-2p)$, $\beta(2) = \beta(-2p)\beta(-p)$ e $\beta(-2) = \beta(-2p)\beta(p)$. Portanto $|\alpha(\Gamma)| = 8$.

Para encontrar o valor de $|\bar{\alpha}(\bar{\Gamma})|$, observamos que a equação $dS^4 + \frac{8p}{d}T^4 = U^2$ não possui solução (S, T, U) inteira para $d < 0$, logo

$$\bar{\alpha}(\bar{\Gamma}) \subseteq \beta(\{1, 2, 4, 8, p, 2p, 4p, 8p\}) = \{\beta(1), \beta(2), \beta(p), \beta(2p)\}.$$

Já sabemos que $\beta(1), \beta(2p) \in \bar{\alpha}(\bar{\Gamma})$, logo basta verificar se $\beta(2), \beta(p) \in \bar{\alpha}(\bar{\Gamma})$, onde $\beta(2) \in \bar{\alpha}(\bar{\Gamma})$ se e somente se $\beta(p) \in \bar{\alpha}(\bar{\Gamma})$.

Para $d = 8$, temos que $8S^4 + pT^4 = U^2$ possui solução $(S, T, U) = (u^2, 1, 3u^4 + 4v^4)$ satisfazendo $\text{mdc}(p, u^2) = 1$: se $p \mid u^2$ então, como $2p = 16v^8 + 24u^4v^4 + u^8$, temos que $p \mid v$ e portanto p^8 divide $16v^8 + 24u^4v^4 + u^8 = 2p$, impossível. Segue que $\beta(2) \in \bar{\alpha}(\bar{\Gamma})$ e então $|\bar{\alpha}(\bar{\Gamma})| = 4$. O resultado segue diretamente de (6.10). \square

Referências Bibliográficas

- [1] Chahal, J.S., *Topics in Number Theory*, Springer, 1988.
- [2] Garcia, A., Lequain, Y., *Elementos de Álgebra*, IMPA, 2003.
- [3] Koblitz, N., *A Course in Number Theory and Cryptography*, Springer, 1994.
- [4] Kudo, M., *On Group Structure of Some Special Elliptic Curves*, Mathematical Journal of Okayama University, **47**, 81-84, 2005.
- [5] Mazur, B., *Rational Points on Modular Curves*, Springer, 1977.
- [6] Milne, J.S., *Elliptic Curves*, BookSurge Publishing, 2006.
- [7] Silverman, J., *The Arithmetic of Elliptic Curves*, Springer, 2010.
- [8] Silverman J., Tate, J., *Rational Points on Elliptic Curves*, Springer, 2010.
- [9] Spearman, B., *Elliptic Curves $y^2 = x^3 - px$ of Rank Two*, Mathematical Journal of Okayama University, **49**, 183-184, 2007.
- [10] Spearman, B., *On the Group Structure of Elliptic Curves $y^2 = x^3 - 2px$* , International Journal of Algebra, Vol. 1, no. 5, 247-250, 2007.
- [11] Vainsemcher, I., *Curvas Algébricas Planas*, IMPA, 2005.
- [12] Walker, R.J., *Algebraic Curves*, Springer, 1978.